

С. А. Назаров

**АСИМПТОТИЧЕСКИЙ АНАЛИЗ СПЕКТРА
КВАНТОВОГО ВОЛНОВОДА
С ШИРОКИМ “ОКНОМ” НЕЙМАНА
В СВЕТЕ МЕХАНИКИ ТРЕЩИН**

§1. ВВЕДЕНИЕ

1.1. Постановка задачи. В единичной полосе $\Pi = \mathbb{R} \times (0, 1)$ рассмотрим спектральную смешанную краевую задачу

$$-\Delta u^\ell(x) = \lambda^\ell u^\ell(x), \quad x \in \Pi, \quad u^\ell(x_1, 0) = 0, \quad x_1 \in \mathbb{R}, \quad (1.1)$$

$$u^\ell(x_1, 1) = 0, \quad |x_1| > \ell, \quad \partial_1 u^\ell(x_1, 1) = 0, \quad |x_1| < \ell. \quad (1.2)$$

Здесь $\partial_j = \partial/\partial x_j$, $\Delta = \partial_1^2 + \partial_2^2$ – оператор Лапласа, а $\ell > 0$ – большой параметр – полуширина “окна” Неймана (рис. 1)

$$\Gamma^\ell = \{x : |x_1| < \ell, x_2 = 1\}. \quad (1.3)$$

Вариационной постановке [1] задачи (1.1), (1.2)

$$(\nabla u^\ell, \nabla \psi^\ell)_\Pi = \lambda^\ell (u^\ell, \psi^\ell)_\Pi, \quad \psi^\ell \in \mathcal{H}^\ell, \quad (1.4)$$

на подпространстве

$$\mathcal{H}^\ell = \left\{ \psi^\ell \in H^1(\Pi) : \psi^\ell = 0 \text{ на } \partial\Pi \setminus \overline{\Gamma^\ell} \right\} \quad (1.5)$$

отвечает [2, гл. 10] неограниченный положительно определенный самосопряженный оператор A^ℓ в гильбертовом пространстве $L^2(\Pi)$ с областью определения $\mathcal{D}(A^\ell)$, более широкой, чем пространство Соболева $H^2(\Pi) \cap \mathcal{H}^\ell$ (см. п. 1, §3). При этом $\nabla = (\partial_1, \partial_2) = \text{grad}$ и $(\cdot, \cdot)_\Pi$ – натуральное скалярное произведение в пространстве Лебега $L^2(\Pi)$.

Ключевые слова: смешанная краевая задача для оператора Лапласа, дискретный спектр, квантовый волновод, окно Неймана, асимптотика, собственные числа, пороговые резонансы, трещина, формула Гриффитса.

Работа выполнена при финансовой поддержке Российского Научного Фонда (проект 22-11-00046).

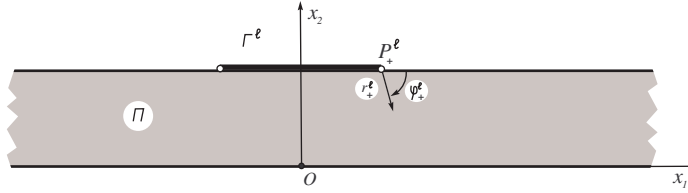


Рис. 1. Полоса с “окном” Неймана (полужирная линия).

Непрерывный спектр σ_c оператора A^ℓ – луч $[\lambda_\dagger, +\infty)$, а ниже точки отсечки $\lambda_\dagger = \pi^2$ располагается дискретный спектр

$$\sigma_d^\ell = \left\{ \lambda_1^\ell, \lambda_2^\ell, \dots, \lambda_{\#\sigma_d^\ell}^\ell \right\} \subset (0, \lambda_\dagger). \quad (1.6)$$

Список (1.6) упорядочен по возрастанию при учете кратностей, а $\#\sigma_d^\ell$ – полная кратность дискретного спектра. Соответствующие собственные функции $u_1^\ell, u_2^\ell, \dots, u_{\#\sigma_d^\ell}^\ell \in \mathcal{H}^\ell$ можно нормировать в пространстве $L^2(\Pi)$, однако далее будут применяться и другие нормировки.

Задачам Дирихле для пары волноводов, соединенных через окно (рис. 2), или смешанным краевым задачам для волновода-полосы с “окном Неймана” (рис. 1) при различных размерах, количестве и конфигурации окон посвящено обилие исследований (см. публикации [3–13] и др.), причем обычно условия Неймана возникают как искусственные краевые условия¹ на просвете (1.3) в общей стенке двух идентичных квантовых волноводов (см. рис. 2 при $d = 1$ и статьи [3]).

Данная работа тесно примыкает к работам [3] и [10], в которых рассматривались пары квантовые волноводов на рис. 2 при $d = 1$ и $d \in (0, 1)$ соответственно. Задача Дирихле в области

$$\Pi \cup \Gamma_\ell \cup \Pi_d,$$

где $\Pi_d = \mathbb{R} \times (1, 1 + d)$, отличается от задачи (1.1), (1.2), однако методы исследования и результаты из [10], в частности, асимптотические формулы без особого труда приспособляются к рассматриваемой смешанной краевой задаче в одиночном волноводе Π .

¹Альтернативой условию Неймана служит искусственное условие Дирихле на (1.3), но задача Дирихле в единичной полосе Π малоинтересна, так как ее точечный спектр заведомо пуст.

В настоящей работе информация о спектре оператора A^ℓ получена при помощи подходов, отличающихся от предложенных в статьях [3, 10], но имеющих непосредственное отношение к механике трещин (см., например, монографии [14–16], статьи [17–19]) и использующие традиционные приемы дифференцирования вдоль границы и общепринятые термины: корневые сингулярности производных, коэффициенты интенсивности, формула Гриффитса приращения энергии и т.п. Предлагаемые новые приемы пригодны и для изучения волновых процессов в упругих волноводах – многие способы исследования спектров, разработанные ранее для скалярных задач, бесполезны в случае векторных, в частности, краевых задач для системы уравнений теории упругости.

Отличные от использованных в [10] аргументы применены далее также для вывода и обоснования асимптотических разложений изолированных собственных чисел. Помимо утверждений, содержащихся в [3] или имеющих прямые аналоги в [10], получены и новые результаты, уточняющие строение спектра $\sigma^\ell = \sigma_d^\ell \cup \sigma_c$.

Известно, что при любом $\ell > 0$ дискретный спектр (1.6) не пуст и его кратность неограниченно возрастает при $\ell \rightarrow +\infty$ (см., например, [3]). В п. 2, §1 один из апробированных результатов воспроизводится при помощи традиционного подхода. Поскольку пространство (1.5) расширяется при увеличении параметра ℓ , функция $\ell \mapsto \lambda_p^\ell \in (0, \lambda_+)$ монотонно убывающая, и увеличение кратности $\#\sigma_d^\ell$ может происходить исключительно в результате отцепления собственного числа от края λ_+ непрерывного спектра при возникновении порогового резонанса (см. работы [20, 21], а также [22–25] и др.), т.е. при появлении на пороге нетривиального ограниченного решения – затухающего на бесконечности, т.е. захваченной волны, или стабилизирующегося, т.е. почти стоячей волны. В частности, установлена (следствие 6.1) невозможность появления захваченной волны на пороге, однако только при больших размерах ℓ . Проверка отсутствия названных волн при всех ℓ (правильный пороговый резонанс) – открытый вопрос.

1.2. Множественность дискретного спектра. Применим максиминимальный принцип

$$\lambda_m^\ell = \max_{\mathcal{R}_m^\ell} \inf_{\psi \in \mathcal{R}_m^\ell \setminus \{0\}} \frac{\|\nabla \psi; L^2(\Pi)\|^2}{\|\psi; L^2(\Pi)\|^2}, \quad (1.7)$$

в котором $\mathcal{R}_m^\ell \subset \mathcal{H}^\ell$ – любое подпространство коразмерностью $m - 1$, в частности, $\mathcal{R}_1^\ell = \mathcal{H}^\ell$. Именно, известно [2, теорема 10.2.2], что, если при некотором $m \in \mathbb{N} := \{1, 2, 3, \dots\}$ величина (1.7) попадает на интервал $(0, \lambda_\dagger)$, то она – собственное число из набора (1.6), в частности, $\#\sigma_d^\ell \geq m$.

Решим смешанную краевую задачу в прямоугольнике $\Pi_0(\ell) = (-\ell, \ell) \times (0, 1)$ с условиями Дирихле на сторонах $\Upsilon_{\pm\ell} = \{x : x_1 = \pm\ell, x_2 \in (0, 1)\}$ и обозначим \mathcal{L}_m^ℓ линейную оболочку функций

$$U_j^\ell(x) = \frac{1}{\sqrt{2\ell}} \sin\left(\frac{\pi}{2}x_2\right) \sin\left(\frac{\pi j}{2\ell}(x_1 + \ell)\right), \quad j = 1, \dots, m, \quad (1.8)$$

продолженных нулем с части $\Pi_0(\ell)$ на всю полосу Π . Эти функции ортонормированы в $L^2(\Pi)$, т.е. $\dim \mathcal{L}_m^\ell = m$, и любое подпространство \mathcal{R}_m^ℓ в формулах (1.7) содержит их нетривиальную линейную комбинацию. Кроме того,

$$\|\nabla U_j^\ell; L^2(\Pi)\|^2 = \frac{\pi^2}{4} + \frac{1}{\ell^2} \Lambda_j^0 := \frac{\pi^2}{4} + \frac{\pi^2}{4} \frac{j^2}{\ell^2}. \quad (1.9)$$

В итоге для любого $m \in \mathbb{N}$ находим такой размер $\ell_m^\#$, что $\lambda_m^\ell < \lambda_\dagger$ и $\#\sigma_d^\ell \geq m$ при $\ell > \ell_m^\#$.

Следующее важное утверждение доказано в работе [3] (см. также [10]).

Лемма 1.1. *Справедливы включения*

$$\lambda_m^\ell \in \left[\frac{\pi^2}{4} + \frac{\pi^2}{4} \frac{(j-1)^2}{\ell^2}, \frac{\pi^2}{4} + \frac{\pi^2}{4} \frac{j^2}{\ell^2} \right], \quad j = 1, \dots, \#\sigma_d^\ell. \quad (1.10)$$

1.3. Содержание статьи. Сначала в п. 1, §2 строятся формальные асимптотики при $\ell \rightarrow +\infty$ собственных чисел задачи (1.1), (1.2), причем в асимптотические конструкции привлекаются решения одномерной модели (2.20) смешанной краевой спектральной задачи на длинном (тонком после сжатия координат) прямоугольнике $\Pi_0(\ell)$ и статической (с фиксированным спектральным параметром) задачи (2.3)–(2.5) в полосе Π . Последняя задача служит для описания явления пограничного слоя, локализованного вблизи краев окон. Затем в п. 2 и п. 3, §2 дается определение порогового резонанса и выводятся асимптотические формулы для критических размеров ℓ_m^* при больших индексах $m \in \mathbb{N}$, при которых (размерах) окно $\Gamma_m^{\ell^*}$ вызывает пороговый резонанс, простой в рассматриваемой задаче (см. статью [24] по поводу общего случая). При этом для удобства и благодаря геометрической симметрии задача

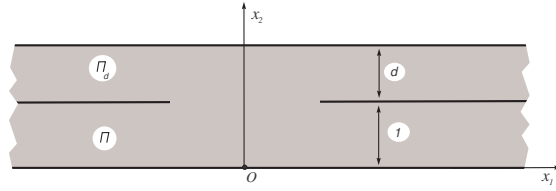


Рис. 2. Два соединенные “окном” волновода с шириной 1 и d .

в Π сужается на полуполосу $\Pi_+ = \{x \in \Pi : x_1 > 0\}$ и снабжается искусственными краевыми условиями Дирихле или Неймана на сечении $\Upsilon_0 = \{x \in \Pi : x_1 = 0\}$, т.е. рассматриваются две вспомогательные смешанные краевые задачи, помечаемые литерами D и N .

В §3 обсуждаются сингулярности решений в концах P_{\pm}^{ℓ} отрезка Γ^{ℓ} , точках смены типа краевых условий. При помощи обычного приема в теории разрушения – дифференцирования по переменной x_1 , т.е. вдоль боковых сторон полуполосы Π_+ – и анализа сингулярностей удалось классифицировать пороговые резонансы в обеих вспомогательных задачах (теорема 3.1) и, в частности, показать, что у них все пороговые резонансы простые. Впрочем, такой подход не позволил проверить отсутствие двойного порогового резонанса в исходной задаче (1.1), (1.2), возникающего вследствие одновременного появления захваченной и почти стоячей волн в усеченных задачах в полуполосе Π_+ с искусственными условиями Дирихле и Неймана на торце. Эта возможность отвергается в п. 4, §4 после построения асимптотики собственных чисел, так как двойной пороговый резонанс порождает на открытом интервале (1.10) два (различных) собственных числа, что противоречит результату [3], сформулированному в лемме 1.1.

В §4 при всех возможных качествах порогового резонанса найдены асимптотики при $\varepsilon \rightarrow +0$ собственных чисел, отцепляющихся от порога при увеличении $\ell \mapsto \ell + \varepsilon$ полуширины окна Неймана. В разных ситуациях порядки возмущения составляют $O(\varepsilon^2)$, $O(\varepsilon^6)$ и $O(\varepsilon)$ (см. теоремы 4.1, 4.2 и 4.3 соответственно), причем и в гипотетической ситуации

двойного порогового резонанса исходной задачи. Поскольку сжатие координат $x \mapsto \ell^{-1}x$ превращает длинный прямоугольник $\Pi_0(\ell)$ в тонкую область алгоритм построения асимптотики собственных чисел из дискретного спектра известен (см. монографии [26, гл. 5, §6], [27, гл. 7, §1] и статьи [28, 29]), а пограничные слои, возникающие около сдвинутых концов $P_+^{\ell+\varepsilon}$ окон, опять-таки строятся при помощи приемов из механики трещин (см. [17, 19] и [30, гл. 7]). Поэтому асимптотические анзацы приводятся без особых комментариев.

Последние два параграфа посвящены обоснованию полученных асимптотических представлений. В §5 при помощи традиционных подходов (лемма 5.1 о “почти собственных” значениях операторов и теорема 5.1 о “сходимости”) получены оценки остатков в асимптотических формулах собственных чисел задач в Π и Π_+ , которые (формулы) были выведены в §2 и §4 на формальном уровне. Наконец, в §6 оправданы асимптотики критических размеров ℓ_m^* при $m \rightarrow +\infty$ при использовании весовых пространств с отделенной асимптотикой и проверки равномерных относительно параметра ℓ априорных оценок решений вспомогательных задач в полуполосе Π_+ с энергетическими пороговыми условиями излучения на бесконечности.

§2. ФОРМАЛЬНЫЙ АСИМПТОТИЧЕСКИЙ АНАЛИЗ

2.1. Асимптотика собственных чисел. В качестве главного члена асимптотики собственной функции задачи (1.1), (1.2), отвечающей ее собственному числу

$$\lambda_m^\ell = \frac{\pi^2}{4} + \ell^{-2}\Lambda_m^0 + \ell^{-3}\Lambda_m' + \tilde{\lambda}_m^\ell, \quad (2.1)$$

логично взять нормированную в $L^2(\{x \in \Pi : |x_1| < \ell\})$ функцию (1.8), $j = m$. Вместе с тем производная $\partial_1 U_m^\ell$ претерпевает разрывы при $x_1 = \pm\ell$ – для их компенсации, следуя [31, 32] и [26, гл. 5, §6], построим пограничные слои, которые образуются в результате замен координат

$$x \mapsto \xi^\pm = (\xi_1^\pm, \xi_2^\pm) = (\pm x_1 - \ell, x_2) \quad (2.2)$$

и формального перехода к $\ell = +\infty$. Не будем писать индекс \pm и рассмотрим модельную задачу с параметром $\mu = \pi^2/4$

$$-\Delta v(\xi) = \mu v(\xi), \quad \xi \in \Pi, \quad (2.3)$$

$$v(\xi_1, 0) = 0, \quad \xi_1 \in \mathbb{R}, \quad (2.4)$$

$$v(\xi_1, 1) = 0, \quad \xi_1 > 0, \quad \partial_1 v(\xi_1, 0) = 0, \quad \xi_1 < 0. \quad (2.5)$$

Далее понадобится ее (вещественное) решение V , исчезающее при $\xi_1 \rightarrow +\infty$ со скоростью $O(e^{-\pi\sqrt{3}\xi_1/2})$ и приобретающее в рукаве $\Pi_- = \{\xi \in \Pi : \xi_1 < 0\}$ линейный рост

$$V(\xi) = (\xi_1 + M) \sin\left(\frac{\pi}{2}\xi_2\right) + O(e^{\pi\sqrt{2}\xi_1}), \quad \xi_1 \rightarrow -\infty. \quad (2.6)$$

Существование такого решения сомнений не вызывает, а его поведение на бесконечности определяется при помощи метода Фурье. Кроме того, M – некоторая абсолютная величина – ее приближенное значение можно найти при помощи вычислительных методов.

Лемма 2.1. *Выполнено соотношение*

$$M = 2 \int_{\Pi} \left(|\nabla V_0(\xi)|^2 - \frac{\pi^2}{4} |V_0(\xi)|^2 \right) d\xi > 0, \quad (2.7)$$

где фигурирует непрерывная кусочно-гладкая функция

$$\Pi \ni \xi \mapsto V_0(\xi) = \begin{cases} V(\xi) & \text{при } \xi_1 > 0, \\ V(\xi) - \xi_1 \sin(\pi\xi_2/2) & \text{при } \xi_1 < 0. \end{cases} \quad (2.8)$$

Доказательство. Интеграл I из средней части формулы (2.7) сходится, так как благодаря соотношениям (2.8) и (2.6) подынтегральное выражение экспоненциально затухает на бесконечности. Этот интеграл неотрицательный в силу одномерных неравенств

$$\int_0^1 \left| \frac{d\mathcal{V}}{d\xi_2}(\xi_2) \right|^2 d\xi_2 \geq \frac{\pi^2}{4} \int_0^1 |\mathcal{V}(\xi_2)|^2 d\xi_2, \quad \mathcal{V} \in H^1(0, 1), \quad \mathcal{V}(0) = 0, \quad (2.9)$$

$$\int_0^1 \left| \frac{d\mathcal{V}}{d\xi_2}(\xi_2) \right|^2 d\xi_2 \geq \pi^2 \int_0^1 |\mathcal{V}(\xi_2)|^2 d\xi_2, \quad \mathcal{V} \in H^1(0, 1), \quad \mathcal{V}(0) = \mathcal{V}(1) = 0. \quad (2.10)$$

Более того, $I = 0$ лишь в случае

$$V_0(\xi) = C_0 \sin\left(\frac{\pi}{2}\xi_2\right) \text{ при } \xi_1 < 0 \text{ и } V_0(\xi) = 0 \text{ при } \xi_1 > 0,$$

который невозможен по причине потери функцией V_0 непрерывности при $C_0 \neq 0$ и превращения ее в нуль при $C_0 = 0$.

Проверка равенства $2M = I$ осуществляется многократным применением формулы Грина для функций V и V_0 , причем последняя удовлетворяет соотношениям (2.3)–(2.5) вне замкнутого сегмента $\overline{\Gamma_0} =$

$\{\xi : \xi_1 = 0, \xi_2 \in [0, 1]\}$, на котором выполнены условия скачка

$$[V_0](\xi_2) := V_0(+0, \xi_2) - V_0(-0, \xi_2) = 0, \quad [\partial_1 V_0](\xi_2) = \sin\left(\frac{\pi}{2}\xi_2\right).$$

Таким образом,

$$\begin{aligned} I &= - \int_0^1 V_0(0, \xi_2) [\partial_1 V_0](\xi_2) d\xi_2 \\ &= - \int_0^1 (V(0, \xi_2) [\partial_1 V_0](\xi_2) - V_0(0, \xi_2) [\partial_1 V](\xi_2)) d\xi_2 \\ &= \lim_{R \rightarrow +\infty} \int_0^1 (V(\xi) \partial_1 V_0(\xi) - V_0(\xi) \partial_1 V(\xi)) \Big|_{\xi_1 = -R}^R d\xi_2 \\ &= \lim_{R \rightarrow +\infty} \int_0^1 V_0(-R, \xi_2) \partial_1 V(-R, \xi_2) d\xi_2 = M \int_0^1 \sin^2\left(\frac{\pi}{2}\xi_2\right) d\xi_2 = \frac{M}{2}. \end{aligned}$$

Лемма доказана. \square

Применим метод сращиваемых разложений (см. монографии [33, 34], [26, гл. 2] и др.) в исполнении [35, 36] и сратим внешнее, справедливое внутри срединной части $\Pi_0(\ell) = \{x : |x_1| < \ell, x_2 \in (0, 1)\}$ волновода, разложение

$$\begin{aligned} u_m^\ell(x) &= U_m^\ell(x) + \ell^{-1} U_m^{\ell'}(x) + \dots \\ &= \frac{1}{\sqrt{\ell}} \sin\left(\frac{\pi}{2}x_2\right) \left(\mathcal{U}_m^0\left(\frac{x_1}{\ell}\right) + \frac{1}{\ell} \mathcal{U}_m'\left(\frac{x_1}{\ell}\right) + \dots \right) + \dots \end{aligned} \quad (2.11)$$

с внутренними разложениями

$$u_m^\ell(x) = \ell^{-3/2} C_m^\pm V(\xi^\pm) + \dots, \quad (2.12)$$

приемлемыми около сегментов $\overline{\Upsilon_{\pm\ell}} = \{\xi : \xi_1 = \pm\ell, \xi_2 \in [0, 1]\}$. Здесь и далее многоточие заменяет младшие асимптотические члены, несущественные для предпринимаемого формального асимптотического анализа.

Разделение переменных в задаче (1.1), (1.2), суженной на прямоугольник $\Pi_0(\ell)$, вместе с анзацем (2.1) для собственного числа показывают, что поправочный член \mathcal{U}_m' разложения (2.11) – решение задачи

Дирихле для обыкновенного дифференциального уравнения

$$-\partial_y^2 \mathcal{U}'_m(y) - \Lambda_m^0 \mathcal{U}'_m(y) = \Lambda'_m \mathcal{U}_m^0(y), \quad y \in (-1, 1), \quad \mathcal{U}'_m(\pm 1) = \mathcal{G}_m^\pm. \quad (2.13)$$

При этом $y = \ell^{-1} x_1$ – растянутая продольная координата, а собственная пара этой же задачи, обусловившая выбор (1.8), имеет вид

$$\{\Lambda_m^0, \mathcal{U}_m^0(y)\} = \left\{ \frac{\pi^2}{4} m^2, \sin\left(\frac{\pi}{2} m(y+1)\right) \right\}. \quad (2.14)$$

Собственная функция \mathcal{U}_m^0 нормирована в пространстве Лебега $L^2(-1, 1)$.

Данные Дирихле \mathcal{G}_m^\pm в задаче (2.13) найдем при помощи процедуры сращивания. Имеем

$$\begin{aligned} U_m^\ell(x) + \ell^{-1} U_m^{\ell'}(x) &= \ell^{-1/2} \sin\left(\frac{\pi}{2} x_2\right) \\ &\times \left(\frac{\pi m}{2} (y \mp 1) (\mp 1)^m + O(|y \mp 1|^3) + \ell^{-1} \mathcal{G}_m^\pm + O(\ell^{-1} |y \mp 1|^2) \right) \\ &= \ell^{-3/2} \sin\left(\frac{\pi}{2} x_2\right) \left(-\frac{\pi m}{2} \xi_1^\pm (\mp 1)^{m+1} + \mathcal{G}_m^\pm + O(\ell^{-3} (1 + |\xi_1^\pm|^3)) \right), \end{aligned} \quad (2.15)$$

Отметим, что, во-первых, $\partial_y^2 \mathcal{U}_m^0(\pm 1) = 0$, и во-вторых, решение \mathcal{U}'_m унаследует свойство четности/нечетности от собственной функции $\mathcal{U}_m^0(\pm 1)$, а значит, его можно выбрать так, чтобы $\partial_y \mathcal{U}'_m(\pm 1) = 0$. Эти обстоятельства и обеспечили оценки остатков в выкладке (2.15).

Сравнивая формулы (2.11), (1.8) и (2.12), (2.6), видим, что внешнее разложение совпадает в главном с внутренними в промежуточных зонах $\xi_1^\pm = \pm x_1 - \ell = O(\sqrt{\ell})$ при ограничениях

$$C_m^\pm = -\frac{\pi m}{2} (\mp 1)^{m+1} \quad \text{и} \quad \mathcal{G}_m^\pm = -\frac{\pi m}{2} (\mp 1)^{m+1} M. \quad (2.16)$$

Осталось соблюсти условие разрешимости задачи (2.13), которое можно вывести следующим образом:

$$\begin{aligned} \Lambda'_m &= \Lambda'_m \int_{-1}^1 |\mathcal{U}_m^0(y)|^2 dy = - \int_{-1}^1 \mathcal{U}_m^0(y) (\partial_y^2 \mathcal{U}'_m(y) + \Lambda_m^0 \mathcal{U}'_m(y)) dy \\ &= \mathcal{U}'_m(y) \partial_y \mathcal{U}_m^0(y) \Big|_{y=-1}^1 = \pi^2 m^2 M. \end{aligned} \quad (2.17)$$

Итак, основная поправка в анзаце (2.1) для собственного числа задачи (1.1), (1.2) найдена. Сформулируем утверждение (ср. [10, теорема 1.1]), которое включает оценку остатка $\tilde{\lambda}_m^\ell$ и будет доказано в п. 4, §5.

Теорема 2.1. *Для любого $m \in \mathbb{N}$ найдутся такие положительные $\ell_m^\#$ и $c_m^\#$, что при $\ell > \ell_m^\#$ кратность $\#\sigma_d^\ell$ дискретного спектра оператора A^ℓ задачи (1.1), (1.2) превосходит m , и первые m собственных чисел из списка (1.6) удовлетворяют асимптотическим формулам*

$$\left| \lambda_j^\ell - \frac{\pi^2}{4} - \frac{\pi^2 j^2}{\ell^2} \left(\frac{1}{4} + \frac{M}{\ell} \right) \right| \leq \frac{c_m^\#}{\ell^{7/2}}, \quad j = 1, \dots, m, \quad (2.18)$$

где $M > 0$ – величина (2.7).

2.2. Пороговый резонанс и вспомогательные задачи. Для того чтобы оперировать скалярными, а не матричными дифракционными характеристиками волновода, воспользуемся геометрической симметрией и сузим задачу (1.1), (1.2) на полуполосу $\Pi_+ = (0, +\infty) \times (0, 1)$, назначив на ее торце искусственные краевые условия

$$u_D^\ell(0, x_2) = 0 \text{ или } -\partial_1 u_N^\ell(0, x_2) = 0 \text{ при } x_2 \in (0, 1). \quad (2.19)$$

Полученные краевые задачи с условиями Дирихле или Неймана обозначаем (1.1), (1.2), (2.19) $_T$ с индексами $T = D$ или $T = N$ соответственно. При этом решения u_D^ℓ и u_N^ℓ , продолженные с полуполосы Π_+ на всю полосу Π соответственно как нечетная и четная функции переменной x_1 , дают решение исходной задачи (1.1), (1.2), гладкое на сечении Υ_0 .

Примем энергетический² принцип излучения Мандельштама [39] (см. также [40, гл. 1], [30, гл. 5]) и, следуя подходу [41], [30, гл. 5], введем на пороге $\lambda_\dagger = \pi^2$ линейные волны

$$w_\pm(x) = (x_1 \mp i) \sin(\pi x_2), \quad (2.20)$$

подчиненные условиям ортогональности и нормировки

$$Q(w_\pm, w_\pm) = \pm i, \quad Q(w_\pm, w_\mp) = 0. \quad (2.21)$$

Здесь Q – симплектическая (полуторалинейная и антиэрмитова) форма

$$Q(u, v) = \int_0^1 \left(\overline{v(R, x_2)} \partial_1 u(R, x_2) - u(R, x_2) \overline{\partial_1 v(R, x_2)} \right) dx_2, \quad (2.22)$$

²Форма (2.22) пропорциональна проекции на ось волновода вектора Умова–Пойнтинга [37, 38] переноса энергии, что и определяет название принципа излучения.

пришедшая из формулы Грина для оператора Гельмгольца и потому не зависящая от параметра R для волн (2.20) и других решений краевых задач в полосе Π . Известно [30, гл. 2], что независимо от того, принадлежит или нет порог $\lambda = \pi^2$ точечному спектру $\sigma_{T\rho}^\ell$ оператора A_T^ℓ , задача (1.1), (1.2), (2.19) $_T$ имеет решение

$$\zeta_T^\ell(x) = w_-(x_1 - \ell, x_2) + s_T^\ell w_+(x_1 - \ell, x_2) + \tilde{\zeta}_T^\ell(x), \quad (2.23)$$

в котором остаток $\tilde{\zeta}_T^\ell(x)$ исчезает при $x_1 \rightarrow +\infty$ как $O(e^{-\pi\sqrt{3}x_1})$, а s_T^ℓ – пороговый коэффициент³ рассеяния. Равенство

$$|s_T^\ell| = 1 \quad (2.24)$$

обеспечено формулой Грина и соотношениями (2.21).

В рассматриваемой ситуации простого порога [23, 24] пороговый резонанс характеризуется [20, 21] наличием у задачи (1.1), (1.2), (2.19) $_T$ с $\lambda = \lambda_\dagger = \pi^2$ нетривиального ограниченного решения. Резонанс называется правильным, если имеется нетривиальное ограниченное решение, не затухающее на бесконечности, т.е. в рассматриваемом случае принимающее вид cu_T^ℓ , где $c \neq 0$ и

$$u_T^\ell(x) = \sin(\pi x_2) + \tilde{u}_T^\ell(x). \quad (2.25)$$

Функция (2.25) именуется почти стоячей волной. Подчеркнем, что пороговый резонанс может быть также инициирован захваченной волной $u_T^\ell \in H^1(\Pi_+)$, т.е. истинной собственной функцией оператора A_T^ℓ в случае $\lambda_\dagger \in \sigma_{pT}^\ell$ (ср. статьи [20, 21, 24] и др.).

Очередное утверждение очевидно (его простую проверку, опирающуюся на вытекающую из (2.20) формулу $w_-(x) - w_+(x) = -2i \sin(\pi x_2)$, можно найти, например, в статье [42]).

Предложение 2.1. *Решение (2.25) задачи (1.1), (1.2), (2.19) $_T$, обеспечивающее правильный пороговый резонанс, существует в том и только в том случае, если $s_T^\ell = -1$.*

Критерий правильного порогового резонанса будет использован в следующем пункте для нахождения критических размеров ℓ_m^* , вызывающих этот феномен.

Введем еще пороговую матрицу рассеяния в задаче (2.3)–(2.5) на пороге $\mu = \lambda_\dagger = \pi^2$. В полуполосе $\Pi_- = (-\infty, 0) \times (0, 1)$ имеются две

³В исходной задаче (1.1), (1.2) возникает пороговая матрица рассеяния размером 2×2 и замена ее скаляром значительно упрощает вычисления.

распространяющиеся (осциллирующие) волны

$$v_{\pm}(x) = \sqrt[4]{\frac{4}{3\pi^2}} \sin\left(\frac{\pi}{2}x_2\right) e^{\pm i\pi\sqrt{3}x_2/2}, \quad (2.26)$$

для которых благодаря нормирующему множителю верны прежние условия ортогональности и нормировки

$$Q(v_{\pm}, v_{\pm}) = \pm i, \quad Q(v_{\pm}, v_{\mp}) = 0. \quad (2.27)$$

Согласно принципу излучения Зоммерфельда (см., например, монографии [43, 44]) волна (2.26) “путешествует” вдоль полосы Π в направлении от $\mp\infty$ к $\pm\infty$. Такая же классификация порождена энергетическим принципом излучения Мандельштама, универсальным, в частности, пригодным для сортировки линейных волн (2.20): направление распространения волн w_{\pm} и v_{\pm} указывается знаком при мнимой единице в первых соотношениях (2.21) и (2.27) соответственно. Иными словами, решение (2.23) порождено приходящей в рукаве Π_+ волной w_- , а s_T^{ℓ} – коэффициент отражения при уходящей волне w_+ , причем равенство (2.24) – следствие закона сохранения энергии. Точно так же приходящие в полуполосах Π_+ и Π_- волны w_- и v_+ инициируют такие решения дифракционной задачи (2.3)–(2.5):

$$V_+(\xi) = \chi_+(\xi_1) (w_-(\xi) + S_+^+ w_+(\xi)) + \chi_-(\xi_1) S_+^- v_-(\xi) + \tilde{V}_+(\xi), \quad (2.28)$$

$$V_-(\xi) = \chi_-(\xi_1) (v_+(\xi) + S_-^- v_-(\xi)) + \chi_+(\xi_1) S_-^+ w_+(\xi) + \tilde{V}_-(\xi). \quad (2.29)$$

Здесь остатки $\tilde{V}_{\pm}(\xi)$ затухают как $O(e^{-\pi\sqrt{3}\xi_1})$ при $\xi_1 \rightarrow +\infty$ и $O(e^{\pi\sqrt{5}\xi_1/2})$ при $\xi_1 \rightarrow -\infty$ (расхождение показателей в экспонентах обусловлено тем, что условия Дирихле назначены в полуполосе Π_- на обеих боковых сторонах, а в полуполосе Π_+ – только на одной), $\chi \in C^{\infty}(\mathbb{R})$ – эталонная срезающая функция,

$$\chi(\xi_1) = 1 \text{ при } \xi_1 > 2, \quad \chi(\xi_1) = 0 \text{ при } \xi_1 < 1 \quad \text{и} \quad 0 \leq \chi \leq 1, \quad (2.30)$$

и

$$\chi_{\pm}(\xi_1) = \chi(\pm\xi_1). \quad (2.31)$$

Наконец, коэффициенты S_{\pm}^{\pm} образуют пороговую (2×2) -матрицу рассеяния S , унитарную ($S^* = S^{-1}$) и симметричную ($S_+^+ = S_+^-$) (проверку этих алгебраических фактов можно найти, например, в статье [42, §2]).

Очередное утверждение для пороговой матрицы рассеяния будет доказано в п. 3, §3.

Лемма 2.2. *Верны соотношения*

$$S_-^+ = S_+^- \neq 0 \quad \Rightarrow \quad |S_+^+| = |S_-^-| < 1.$$

2.3. Асимптотика критических размеров окна Неймана. Как и в п. 1 §2, применим метод сращиваемых асимптотических разложений. На длинном прямоугольнике $\Pi_0(\ell)$ в качестве внешнего разложения решения задачи (1.1), (1.2), (2.19)_T возьмем линейную комбинацию волн (2.26)

$$\begin{aligned} \zeta_T^\ell(x) &= C_T^\ell v_T(x) + \dots \\ &= C_T^\ell \left(e^{i\pi\sqrt{3}\ell/2} v_+(x_1 - \ell, x_2) \mp e^{-i\pi\sqrt{3}\ell/2} v_-(x_1 - \ell, x_2) \right) + \dots, \end{aligned} \quad (2.32)$$

где

$$v_D(x) = v_+(x) - v_-(x) \quad \text{или} \quad v_N(x) = v_+(x) + v_-(x). \quad (2.33)$$

Внутреннее разложение около конца P_+^ℓ окна Неймана – линейная комбинация решений (2.28) и (2.29) задачи (2.3)–(2.5) с параметром $\mu = \pi^2$

$$\zeta_T^\ell(x) = V_+(\xi) + B_T^\ell V_-(\xi) + \dots, \quad (2.34)$$

которая допускает представления

$$\zeta_T^\ell(x) = w_-(\xi) + (S_+^+ + S_-^+ B_T^\ell) w_+(\xi) + \dots \quad \text{при} \quad \xi_1 > 0, \quad (2.35)$$

$$\zeta_T^\ell(x) = B_T^\ell v_+(\xi) + (S_+^- + S_-^- B_T^\ell) v_-(\xi) + \dots \quad \text{при} \quad \xi_1 < 0. \quad (2.36)$$

Согласно определению (2.23) множитель при уходящей волне $w_+(\xi)$ в формуле (2.35) становится главным членом асимптотики порогового коэффициента рассеяния s_T^ℓ (см. далее теорему 6.2).

Сравнивая разложения (2.32) и (2.36), приходим к соотношениям

$$\left. \begin{aligned} e^{i\pi\sqrt{3}\ell/2} C_T^\ell &= B_T^\ell \\ \mp e^{-i\pi\sqrt{3}\ell/2} C_T^\ell &= S_+^- + S_-^- B_T^\ell \end{aligned} \right\} \Rightarrow B_T^\ell = -\frac{S_+^-}{S_-^- \pm e^{-i\pi\sqrt{3}\ell}}, \quad (2.37)$$

причем знаки минус и плюс отвечают литерам $T = D$ и $T = N$ соответственно. Таким образом,

$$s_T^\ell = s_T^0(\ell) + \dots, \quad \text{где} \quad s_T^0(\ell) = S_+^+ - \frac{S_-^+ S_+^-}{S_-^- \pm e^{-i\pi\sqrt{3}\ell}}. \quad (2.38)$$

Теорема 2.2. Величина $s_T^0(\ell)$ лежит на единичной окружности \mathbb{S} в комплексной плоскости \mathbb{C} и при

$$\ell_{Tm}^\bullet = \ell_{T0}^\bullet + \frac{\sqrt{3}}{2}m > 0, \quad m \in \mathbb{N}, \quad (2.39)$$

попадает в точку -1 ; здесь $T = D, N$ и $\ell_{T0}^\bullet \in (-\sqrt{3}/2, 0]$ – некоторые числа.

Доказательство. Прежде всего отметим, что знаменатель дроби из формулы (2.38) не обращается в нуль благодаря лемме 2.2.

Подставим сумму $V_+ + B_T^\ell V_-$ в формулу Грина на длинном прямоугольнике $\Pi_0(R) = (-R, R) \times (0, 1)$ и перейдем к пределу при учете соотношений (2.21), (2.27) и представлений (2.28), (2.29). В результате получим равенства

$$\begin{aligned} 0 &= Q(v_- + w_+(S_+^+ + B_T^\ell S_-^+), v_- + w_+(S_+^+ + B_T^\ell S_-^+)) \\ &\quad - Q(v_+ B_T^\ell + w_-(S_-^- + B_T^\ell S_-^-), v_+ B_T^\ell + w_-(S_-^- + B_T^\ell S_-^-)) \\ &= -i + i|S_+^+ + B_T^\ell S_-^+|^2 - i|B_T^\ell|^2 + i|S_-^- + B_T^\ell S_-^-|^2. \end{aligned} \quad (2.40)$$

В силу заключения (2.37) имеем

$$S_+^- + B_T^\ell S_-^- = \pm \frac{S_-^+ e^{-i\pi\sqrt{3}\ell}}{S_-^- \pm e^{-i\pi\sqrt{3}\ell}} \Rightarrow |B_T^\ell| = |S_+^- + B_T^\ell S_-^-|.$$

Следовательно, последние два слагаемых в равенствах (2.40) взаимно уничтожаются, т.е. в самом деле

$$|s_T^0(\ell)| = |S_+^+ + B_T^\ell S_-^+| = 1.$$

Нетрудно убедиться в том, что следующая величина также лежит на единичной окружности $\mathbb{S} \subset \mathbb{C}$:

$$S_-^- - \frac{S_-^+ S_+^-}{1 + S_+^+} = e^{i\pi\Psi}, \quad \Psi \in [0, 2). \quad (2.41)$$

Сравнив эту формулу с последним выражением из (2.38), находим величины

$$\ell_{jT}^\bullet = \frac{\sqrt{3}}{3} \begin{cases} 2j - \Psi + 1 & \text{при } T = D, \\ 2j - \Psi & \text{при } T = N, \end{cases} \quad \text{где } j \in \mathbb{Z} := \{0, \pm 1, \pm 2, \dots\}, \quad (2.42)$$

для которых главный член $s_T^0(\ell_{mT}^\bullet)$ асимптотики порогового коэффициента отражения s_T^ℓ во вспомогательной задаче на полуполосе Π_+ с

условиями Дирихле ($T = D$) и Неймана ($T = N$) на отрезке Υ_0 превращается в -1 . Осталось из семейства (2.42) выбрать положительную монотонную последовательность (2.39). Лемма доказана. \square

Асимптотический анализ будет продолжен в §6, где будет проверено основное утверждение в данной статье.

Теорема 2.3. *Для $T = D$ и $T = N$ при больших индексах $m \in \mathbb{N}$ для членов монотонных последовательностей $\{\ell_{mT}^*\}_{m \in \mathbb{N}}$ критических размеров окна Неймана, порождающих правильные пороговые резонансы в задаче (1.1), (1.2), (2.19)_T, справедливо соотношение*

$$|\ell_{m+\mathbf{m}_T}^* - \ell_{Tm}^\bullet| \leq Ce^{-\delta m}, \quad \delta > 0. \quad (2.43)$$

Здесь ℓ_{mm}^\bullet – величины (2.39), найденные по пороговой матрице рассеяния S в задаче (2.3)–(2.5) в соответствии с формулами (2.41) и (2.42), а сдвиги индексов $\mathbf{m}_T \in \mathbb{Z}$ учитывают количество критических размеров окна вне действия асимптотической формулы.

Из оценки (2.43) вытекает, что все правильные пороговые резонансы в задаче (1.1), (1.2) простые.

Следствие 2.1. *Найдется такое число $m_* \in \mathbb{N}$, что при $m_D, m_N > m_*$ равенство $\ell_{m_D D} = \ell_{m_N N}$ невозможно.*

§3. ВЫГОДЫ ОТ МАНИПУЛЯЦИЙ С КОРНЕВЫМИ СИНГУЛЯРНОСТЯМИ

3.1. Область определения оператора задачи. В точках $P_\pm^\ell = (\pm\ell, 1)$ смены типа краевого условия в задаче (1.1), (1.2) градиент решения u^ℓ приобретает корневые сингулярности (см., например, [30, гл. 7, §1 и §4]), а именно,

$$u^\ell(x) = K_\pm^\ell r_\pm^{1/2} \sin \frac{\varphi_\pm}{2} + O(r_\pm^{3/2}), \quad r_\pm \rightarrow +0. \quad (3.1)$$

Здесь $(r_\pm, \varphi_\pm) \in \mathbb{R}_+ \times (0, \pi)$ – система полярных координат с центром в точке P_\pm^ℓ (рис. 1), а K_\pm^ℓ – коэффициент интенсивности (термин заимствован из механики трещин; ср. монографии [14–16], [30, гл. 7] и др.). При $K_\pm^\ell \neq 0$ функция (3.1) не попадает в пространство $H_{loc}^2(\overline{\Pi})$ из-за отделенного в представлении (3.1) слагаемого $O(r_\pm^{1/2})$, порождающего корневые сингулярности производных. Поэтому (подробности см.

в [45], [30, гл. 2]) областью определения введенного в п. 1, §1 оператора A^ℓ служит линейное пространство

$$\mathcal{D}(A^\ell) = \left\{ u^\ell(x) = \widehat{u}^\ell(x) + \sum_{\pm} \chi_0(r_{\pm}) K_{\pm}^{\ell} r_{\pm}^{1/2} \sin \frac{\varphi_{\pm}}{2} \mid K_{\pm}^{\ell} \in \mathbb{C}, \right. \\ \left. u^\ell \in H^2(\Pi), u^\ell(x_1, 0) = 0 \text{ при } x_1 \in \mathbb{R}, \text{ выполнены условия (1.2)} \right\}, \quad (3.2)$$

причем $\chi_0 \in C^\infty(\mathbb{R}_+)$ – срезающая функция, локализирующая сингулярности решения,

$$\chi_0(r) = 1 \text{ при } r < \frac{1}{3} \min\{1, \ell\}, \chi_0(r) = 0 \text{ при } r > \frac{2}{3} \min\{1, \ell\}, 0 \leq \chi_0 \leq 1. \quad (3.3)$$

3.2. Коэффициент интенсивности в решении модельной задачи. Аналогичная указанной в (3.2) сингулярность в точке $P^0 = (0, 1)$ возникает и у решения (2.6) задачи (2.3)–(2.5) с параметром $\mu = \pi^2/4$:

$$V(\xi) = \chi_0(\rho) K \rho^{1/2} \sin \frac{\varphi}{2} + \widehat{V}(\xi) \quad \widehat{V} \in H_{loc}^2(\overline{\Pi}). \quad (3.4)$$

Здесь $\rho = |\xi - P^0|$ и $\varphi \in (0, \pi)$ – угловая переменная. Все ингредиенты формулы (3.4) вещественные.

Замечание 3.1. Гармонические в полуплоскости $\{\xi : \xi_2 < 1\}$ функции, удовлетворяющие краевым условиям (2.5), имеют вид

$$\rho^{\pm(j-1/2)} \sin \left(\left(j - \frac{1}{2} \right) \varphi \right), \quad j \in \mathbb{N}, \quad (3.5)$$

и называются степенными решениями. Дифференцирование вдоль границы оставляет каждую решением той же задачи (обычный прием в теории трещин; ср. [30, гл. 7, §4]). В этом параграфе понадобятся следующие простые формулы:

$$\frac{\partial}{\partial \xi_1} \rho^{k+1/2} \sin \left(\left(k + \frac{1}{2} \right) \varphi \right) = C_k \rho^{k-1/2} \sin \left(\left(k - \frac{1}{2} \right) \varphi \right), \quad k \in \mathbb{Z},$$

и в случаях $k = 0, k = 1$

$$\frac{\partial}{\partial \xi_1} \rho^{1/2} \sin \frac{\varphi}{2} = -\frac{1}{2} \rho^{-1/2} \sin \frac{\varphi}{2}, \quad \frac{\partial}{\partial \xi_1} \rho^{3/2} \sin \left(\frac{3}{2} \varphi \right) = \frac{3}{2} \rho^{1/2} \sin \frac{\varphi}{2}. \quad (3.6)$$

Наиболее простой способ вычислить коэффициенты C_k предложен в работах [17, 19]: нужно положить $\varphi = \pi$ и заметить, что $\partial_1 = -\partial_\rho$ на полуоси $\{\xi : \xi_1 < 0, \xi_2 = 1\}$.

Лемма 3.1. *Вещественный коэффициент интенсивности в представлении (3.4) отличен от нуля: $K = +\sqrt{\frac{2}{\pi}}$ или $K = -\sqrt{\frac{2}{\pi}}$.*

Доказательство. Производная $V_1 = \partial_1 V$ удовлетворяет той же задаче (2.3)–(2.5), что и сама функция V , однако в силу формул (3.4) и (3.6) приобретает корневую особенность в точке P^0 :

$$V_1(\xi) = -\frac{1}{2}K\rho^{-1/2}\sin\frac{\varphi}{2} + O(\rho^{1/2}), \quad \rho \rightarrow +0. \quad (3.7)$$

Кроме того, $V_1(\xi) = \sin\left(\frac{\pi}{2}\xi_2\right) + O\left(e^{2\sqrt{\pi}\xi_1}\right)$ при $\xi_1 \rightarrow -\infty$. Подставим функции V и V_1 в формулу Грина на прямоугольнике $\Pi_0(R)$ с вырезанным полукругом $\mathbb{B}_{1/R}^+(P^0) = \{\xi \in \bar{\Pi} : \rho < 1/R\}$ и вычислим предел при $R \rightarrow +\infty$. Имеем

$$\begin{aligned} 0 &= \sum_{\pm} \pm \lim_{R \rightarrow +\infty} \int_0^1 \left(V(\xi) \frac{\partial V_1}{\partial \xi_1}(\xi) - V_1(\xi) \frac{\partial V}{\partial \xi_1}(\xi) \right) \Big|_{\xi_1 = \pm R} d\xi_2 \\ &- \lim_{R \rightarrow +\infty} \frac{1}{R} \int_0^\pi \left(V(\xi) \frac{\partial V_1}{\partial \rho}(\xi) - V_1(\xi) \frac{\partial V}{\partial \rho}(\xi) \right) \Big|_{\rho=1/R} d\varphi = 0 + \frac{1}{2} - \frac{\pi}{4} K^2. \end{aligned} \quad (3.8)$$

Лемма доказана. \square

3.3. Доказательство леммы 2.2. Предположим, что $S_+^- = 0$. Тогда осциллирующая волна $v_-(\xi)$ исчезает из разложения (2.28), т.е. решение (2.28) затухает при $\xi_1 \rightarrow +\infty$. Обозначим K_+ коэффициент интенсивности у этой функции. При $\rho \rightarrow +0$ верны аналогичные (3.4) и (3.7) представления

$$\begin{aligned} V_+(\xi) &= K_+\rho^{1/2}\sin\frac{\varphi}{2} + O(\rho^{3/2}), \\ V_{1+}(\xi) &:= \partial_1 V_+(\xi) = -\frac{1}{2}K_+\rho^{-1/2}\sin\frac{\varphi}{2} + O(\rho^{1/2}), \end{aligned} \quad (3.9)$$

Подставим функции (3.9) в формулу Грина на множестве $\Pi_0(R) \setminus \mathbb{B}_{1/R}^+(P^0)$ и, повторив в главном выкладку (3.8) при учете определения (2.20) волн w_{\pm} и разложения (2.20) с $S_+^- = 0$, получим равенство⁴

$$\begin{aligned} 0 &= \frac{1}{2} \left(1 + \overline{S_+^+} \right) (1 + S_+^+) + \frac{\pi}{2} |K_+|^2 \\ &= \frac{1}{2} \left((1 + \operatorname{Re} S_+^+)^2 + (\operatorname{Im} S_+^+)^2 + \pi |K_+|^2 \right). \end{aligned} \quad (3.10)$$

Следовательно, $S_+^+ = -1$ и $K_+ = 0$, а значит, во-первых, согласно предложению 2.1 решение V теряет линейный рост при $\xi_1 \rightarrow +\infty$, и во-вторых, производная $\partial_1 V_+$ принадлежит пространству Соболева $H^1(\Pi)$, так как остается ограниченной в точке P^0 и экспоненциально затухает на бесконечности. Иными словами, $\partial_1 V_+$ – собственная функция задачи (2.3)–(2.5) с параметром $\mu = \pi^2$. Прежние аргументы показывают, что коэффициент интенсивности у собственной функции нулевой, причем по индукции можно убедиться в том, что ее производные любых порядков обладают таким же свойством. Поскольку корневое подпространство оператора задачи (2.3)–(2.5) в точке $\mu = \pi^2$ конечномерно, видим, что

$$P(\partial_1)\partial_1 V_+(\xi) = 0, \quad \xi \in \Pi, \quad (3.11)$$

для некоторого нетривиального дифференциального оператора с постоянными коэффициентами. Формула (3.11) невозможна, так как гладкая внутри полосы Π функция $\partial_1 V_+$ затухает при $\xi_1 \rightarrow \pm\infty$. Полученное противоречие заканчивает проверку леммы 2.2.

Приведенные в последнем абзаце рассуждения приводят к еще одному утверждению.

Следствие 3.1. *У задачи (2.3)–(2.5) нет нетривиальных решений $v \in H^1(\Pi)$, т.е. собственных функций или, что то же, захваченных волн.*

3.4. Неполные сведения о кратности пороговых резонансов, уточняемые впоследствии. Зафиксируем размер ℓ_T , при котором у задачи (1.1), (1.2), $(2.19)_T$ реализуется пороговый резонанс, порожденный ее решением

$$u_T^\ell(x) = c_T^\ell \chi(x_1 - \ell) \sin(\pi x_2) + \chi_0(r_+) K_T^\ell r_+^{1/2} \sin \frac{\varphi_+}{2} + \widehat{u}_T^\ell(x). \quad (3.12)$$

⁴Разные знаки в формулах (3.8) и (3.10) объясняются тем, что функция V приобретает линейный рост при $\xi_1 \rightarrow -\infty$, а функция V_+ – при $\xi_1 \rightarrow +\infty$

Здесь c_T^ℓ и K_T^ℓ – некоторые коэффициенты, а для остатка выполнены соотношения

$$\begin{aligned}\widehat{u}_T^\ell(x) &= O(e^{-\pi\sqrt{3}x_1}) \text{ при } x_1 \rightarrow +\infty, \\ \widehat{u}_T^\ell(x) &= O(r_+^{3/2}) \text{ при } r_+ \rightarrow +0,\end{aligned}\tag{3.13}$$

которые можно почленно дифференцировать при соглашении

$$\nabla O(e^{-\beta x_1}) = O(e^{-\beta x_1}) \quad \text{и} \quad \nabla O(r_+^\gamma) = O(r_+^{\gamma-1}).\tag{3.14}$$

Подчеркнем, что $u_T^\ell \in C^2([0, \min\{1, \ell/2\}] \times [0, 1])$, т.е. решение и его первые и вторые производные непрерывны в угловых точках $(0, 0)$ и $(0, 1)$ (на самом деле дифференциальные свойства собственных функций в вершинах прямых углов еще лучше – см., например, книгу [30, гл. 2, §4]).

Следующее утверждение, относящееся к случаю искусственных условий Дирихле $T = D$, проверяется при помощи приема [46].

Лемма 3.2. *У нетривиального ограниченного решения $(3.12)_D$ задачи (1.1), (1.2), $(2.19)_D$ коэффициент интенсивности не равен нулю:*

$$K_D \neq 0.\tag{3.15}$$

Доказательство. В формулу Грина на области $\Pi_+(R) \setminus \overline{\mathbb{B}_{1/R}^+(P_+^\ell)}$ подставим функцию u_D^ℓ – захваченную ($c_D^\ell = 0$) или почти стоячую ($c_D^\ell \neq 0$) волну – и ее производную

$$\partial_1 u_D^\ell(x) = -\chi_0(r_+) \frac{1}{2} K_T^\ell r_+^{-1/2} \sin \frac{\varphi_+}{2} + \widehat{\partial_1 u_D^\ell}(x).\tag{3.16}$$

Остаток $\widehat{\partial_1 u_D^\ell}$ подчинен требованиям

$$\begin{aligned}\widehat{\partial_1 u_D^\ell}(x) &= O(e^{-\pi\sqrt{3}x_1}) \text{ при } x_1 \rightarrow +\infty, \\ \widehat{\partial_1 u_D^\ell}(x) &= O(r_+^{1/2}) \text{ при } r_+ \rightarrow +0.\end{aligned}$$

Обе функции удовлетворяют уравнению Гельмгольца в полуполосе Π_+ и краевым условиям на ее боковых сторонах (см. соотношения (1.1)

и (1.2)). Таким образом, в формуле Грина сохраняются только одномерные интегралы:

$$\begin{aligned}
 0 &= \int_0^1 |\partial_1 u_D^\ell(0, x_2)|^2 dx_2 \\
 &- \lim_{R \rightarrow +\infty} \int_0^1 \left(|\partial_1 u_D^\ell(R, x_2)|^2 - \overline{u_D^\ell(R, x_2)} \partial_1^2 u_D^\ell(R, x_2) \right) dx_2 \\
 &+ \lim_{R \rightarrow +\infty} \frac{1}{R} \int_0^\pi \left(\overline{\partial_{r_+} u_D^\ell(x)} \partial_1 u_D^\ell(x) - \overline{u_D^\ell(x)} \partial_{r_+} \partial_1 u_D^\ell(x) \right) d\varphi_+ \\
 &=: I_0 + I_\infty + I_{\mathbb{B}}.
 \end{aligned} \tag{3.17}$$

В силу экспоненциального затухания производной (3.16) (при любом коэффициенте c_D^ℓ) имеем $I_\infty = 0$. Согласно теореме о единственности продолжения (см., например, книгу [47]) след $\partial_1 u_D^\ell(0, \cdot)$ не может обратиться в нуль всюду на торце Υ_0 и, следовательно, $I_0 > 0$. Для окончания проверки неравенства (3.15) осталось вычислить интеграл $I_{\mathbb{B}} = -\frac{\pi}{2} |K_D^\ell|^2$, повторив с незначительными изменениями выкладки (3.8). \square

Лемма 3.2 показывает, в частности, что пороговый резонанс в задаче (1.1), (1.2) на полуполосе Π_+ с искусственным условием Дирихле (2.19) $_D$ не может быть кратным (иначе найдется ограниченное решение с нулевым коэффициентом интенсивности).

Теперь рассмотрим задачу (1.1), (1.2) с искусственным условием Неймана (2.19) $_N$ при прежнем значении $\lambda_N = \lambda_D$ спектрального параметра. Благодаря уравнению Гельмгольца производная (3.16) удовлетворяет краевому условию Неймана на торце Υ_0 полуполосы Π_+ , т.е. $\partial_1 u_D^\ell$ – сингулярное решение задачи (1.1), (1.2), (2.19) $_N$ с особенностью в точке P_+^ℓ . Пусть в этой задаче реализуется пороговый резонанс. Соответствующее ограниченное решение (3.12) $_N$ с коэффициентом интенсивности K_N^ℓ и производную $\partial_1 u_D^\ell$ подставим в формулу Грина на области $\Pi_+(R) \setminus \mathbb{B}_{1/R}(P_+^\ell) = \{x \in \Pi : x_1 \in (0, R), r_+ > 1/R\}$ и, повторив вычисления из доказательства леммы 3.2, выводим при учете соотношения (3.16), что

$$\overline{K_D^\ell} K_N^\ell = 0 \quad \Rightarrow \quad K_N^\ell = 0. \tag{3.18}$$

Итак, общий пороговый резонанс в обеих задачах (1.1), (1.2) с условиями (2.19)_D и (2.19)_N возникает только при ограничениях (3.15) и (3.18) (далее в п. 4, §4 будет показано, что такая ситуация вообще невозможна).

Убедимся в том, что резонанс в самой задаче (1.1), (1.2), (2.19)_N не может быть кратным. Сначала заметим, что при условии (3.18) разложение (3.12) можно уточнить (см., например, [30, гл. 2]) следующим образом:

$$u_N^\ell(x) = c_N^\ell \chi(x_1 - \ell) \sin(\pi x_2) + \chi_0(r_+) K_{N3}^\ell r_+^{3/2} \sin\left(\frac{3}{2}\varphi_+\right) + \hat{u}_N^\ell(x), \quad (3.19)$$

причем $\hat{u}_N^\ell(x) = O(r_+^{5/2})$ при $r_+ \rightarrow +0$. Тогда производная $\partial_1 u_N^\ell$ – решение задачи (1.1), (1.2), (2.19)_D из пространства Соболева $H^1(\Pi_+)$ с таким поведением⁵ на бесконечности и около точки P_+^ℓ :

$$\begin{aligned} \partial_1 u_N^\ell(x) &= O(e^{-\pi\sqrt{3}x_1}) \text{ при } x_1 \rightarrow +\infty, \\ \partial_1 u_N^\ell(x) &= \frac{3}{2} K_{N3}^\ell r_+^{1/2} \sin\frac{\varphi_+}{2} + O(r_+^{5/2}) \text{ при } r_+ \rightarrow +0. \end{aligned} \quad (3.20)$$

В силу проверенной в лемме 3.2 единственности ограниченного решения (3.12)_D, выводим связь $u_D^\ell = c_{ND} \partial_1 u_N^\ell$, т.е. u_D^ℓ – захваченная волна в задаче (1.1), (1.2), (2.19)_D согласно первой формуле (3.20) и, следовательно, $\lambda_\dagger = \pi^2 \in \sigma_p^\ell$.

Нужно еще обсудить две ситуации: $K_{N3}^\ell = 0$ в решении (3.20) и $K_{N3}^\ell \neq 0$ в решении (3.12)_N. Первая невозможна по лемме 3.2, так как производная $\partial_1 u_N^\ell$, удовлетворяя задаче (1.1), (1.2), (2.19)_D, приобретает нулевой коэффициент интенсивности. Во второй эта же производная – сингулярное решение упомянутой задачи, и прежняя аргументация (формула Грина, предельный переход и т.д.) устанавливает, что $K_D^\ell = 0$ у любого ее ограниченного решения, т.е. резонанс (1.1), (1.2), (2.19)_D отсутствует.

Полученная информация о пороговых резонансах задач в полуполосе Π_+ и продолжение решений (3.12)_D и (3.12)_N по четности и нечетности через ось ординат приводят к следующему утверждению об исходной задаче на цельной полосе Π .

Теорема 3.1. *Пороговые резонансы в задаче (1.1), (1.2) с окном Неймана шириной 2ℓ появляются в следующих ситуациях:*

⁵Напоминаем про соглашение (3.14).

1° величина ℓ является критической для обеих задач с искусственными краевыми условиями $(2.19)_D$ и $(2.19)_N$, причем соответствующие ограниченные решения (3.12) имеют коэффициенты интенсивности $K_D^\ell \neq 0$ и $K_N^\ell = 0$, а $u_D^\ell \in \mathcal{H}^\ell$ – захваченная волна, но $K_{N3}^\ell \neq 0$ в представлении (3.19) ;

2° величина ℓ критическая только для задачи (1.1) , (1.2) , $(2.19)_D$, а ее ограниченное решение $(3.12)_D$ может быть как захваченной, так и почти стоячей волной;

3° величина ℓ критическая только для задачи (1.1) , (1.2) , $(2.19)_N$ и ее ограниченное решение $(3.12)_N$ имеет коэффициент интенсивности $K_N^\ell \neq 0$.

Кроме того,

4° в обеих задачах с искусственными краевыми условиями Дирихле или Неймана на торце Υ_0 полуполосы Π_+ двойной пороговый резонанс не возникает.

Доказательство. В проверке нуждается только утверждение 4°, впрочем в случае искусственного условия Дирихле оно вытекает непосредственно из леммы 3.2 (см. выше). Если у задачи в Π_+ с искусственным условием Неймана есть два линейно независимых ограниченных решения u_{N1}^ℓ и u_{N2}^ℓ , то коэффициент интенсивности у одного из них, например, K_{N1}^ℓ , можно обратить в нуль. Таким образом, $u_{D1}^\ell = \partial_1 u_{N1}^\ell \in H^1(\Pi_+)$ – захваченная волна в задаче (1.1) , (1.2) , $(2.19)_D$ с нетривиальным по лемме 3.2 коэффициентом интенсивности K_{D1}^ℓ . В случае $K_{N2}^\ell \neq 0$ получаем сингулярное решение $u_{D1}^\ell = \partial_1 u_{N1}^\ell$ той же задачи с особенностью $-\frac{1}{2}K_{N2}^\ell r_+^{-1/2} \sin \frac{\varphi_+}{2}$, а значит, привычный трюк с формулой Грина приводит к невозможному равенству $K_{D1}^\ell K_{N2}^\ell = 0$. Следовательно, $K_{N2}^\ell = 0$ и существует пара захваченных волн u_{D1}^ℓ , u_{D2}^ℓ , которая наследует линейную независимость от пары u_{N1}^ℓ , u_{N2}^ℓ . Последнее противоречит лемме 3.2, т.е. теорема доказана в полном объеме. \square

В п. 4, §4 будет показано, что ситуация 1° невозможна, т.е. в силу остальных утверждений теоремы все пороговые резонансы простые и в спектре задачи (1.1) , (1.2) на цельной полосе Π . Предварим этот окончательный результат вспомогательным вычислением.

Лемма 3.3. Пусть ℓ – критический размер окна Неймана в задаче (1.1) , (1.2) , $(2.19)_N$. Ситуация 1° из теоремы 3.1 возможна лишь в

том случае, когда равен нулю (неотрицательный) интеграл

$$I = \int_0^1 (|\partial_2 u_N^\ell(0, x_2)|^2 - \pi^2 |u_N^\ell(0, x_2)|^2) dx_2,$$

вычисленный для ограниченного решения (2.25)_N. Если же $I > 0$, то реализуется ситуация 3°.

Доказательство. Как и при проверке леммы 3.2, подставим в формулу Грина на множестве $\Pi_+(R) \setminus \mathbb{B}_{1/R}^+(P_+^\ell)$ решение (2.25)_N и его производную $\partial_1 u_N^\ell \in C^1([0, \ell/2] \times [0, 1])$, экспоненциально затухающую при $x_1 \rightarrow +\infty$. В результате предельного перехода $R \rightarrow +\infty$ аналогично выкладке (3.17) получим соотношение

$$\int_0^1 (|\partial_1 u_N^\ell(0, x_2)|^2 - u_N^\ell(0, x_2) \partial_1^2 u_N^\ell(0, x_2)) dx_2 = -\frac{\pi}{2} (K_N^\ell)^2. \quad (3.21)$$

При помощи уравнения Гельмгольца, условия Неймана на торце Υ_0 и формулы интегрирования по частям придаем соотношению (3.21) вид

$$-\frac{\pi}{2} (K_N^\ell)^2 = \int_0^1 u_N^\ell(0, x_2) (\partial_2^2 u_N^\ell(0, x_2) + \pi^2 u_N^\ell(0, x_2)) dx_2 = -I,$$

и тем самым заканчиваем доказательство леммы. \square

Возникновение ситуаций 2° и 3° сомнений не вызывает, так как максимальный принцип (1.7) из п. 2, §1 доказывает, что кратности $\#\sigma_{dT}^\ell$ дискретных спектров операторов A_T^ℓ задач (1.1), (1.2), (2.19)_T неограниченно возрастают при $\ell \rightarrow +\infty$, что сопровождается отцеплением собственных чисел от порога $\lambda_\dagger = \pi^2$. Отметим, что известен пример [48] акустического волновода довольно-таки причудливой формы с двойным пороговым резонансом на простом пороге, однако в случае условий Дирихле таких примеров до сих пор нет.

§4. ОТЦЕПЛЕНИЕ СОБСТВЕННЫХ ЧИСЕЛ ОТ ПОРОГА

4.1. Правильный пороговый резонанс и ненулевой коэффициент интенсивности. Пусть при $\ell = \ell_D$ в задаче (1.1), (1.2), (2.19)_D

возникает правильный пороговый резонанс, т.е. у нее есть (вещественное) решение (2.25), которое обозначим u^0 . В силу леммы 3.2 коэффициент интенсивности $K_D^0 := K_D^{\ell_D}$ в представлении (3.12) этого решения отличен от нуля. Далее рассматриваем и аналогичный правильный пороговый резонанс в задаче (1.1), (1.2) с искусственными краевыми условиями Неймана $(2.19)_N$ при $\ell = \ell_N$ в предположении $K_N^0 := K_N^{\ell_N} \neq 0$ (см. теорему 3.1, 3°).

Придадим малое возмущение $\varepsilon > 0$ размеру ℓ_T и будем искать собственное число возмущенной задачи в виде

$$\lambda_T^\varepsilon = \pi^2 - \varepsilon^2 \theta^2 + \tilde{\lambda}_T^\varepsilon, \quad (4.1)$$

где $\theta > 0$ – величина, подлежащая определению, а (малый) остаток $\tilde{\lambda}_T^\varepsilon$ будет оценен в п. 4, §5. Там же будут пояснено, почему рассматриваемое возмущение краевых условий можно интерпретировать как регулярное, однако при формальном анализе с целью вывести явные формулы для поправочных членов удобно придать многомасштабное асимптотическое разложение соответствующей собственной функции u_T^ε из пространства

$$\begin{aligned} \mathcal{H}_T^{\ell_T+\varepsilon} &= \{\psi^\varepsilon \in H^1(\Pi_+) : \\ \psi^\varepsilon &= 0 \text{ на } \partial\Pi_+ \setminus (\Gamma^{\ell_T+\varepsilon} \cup \Upsilon_0), \text{ выполнены условия } (2.19)_N\}. \end{aligned} \quad (4.2)$$

Именно, в конечной части волновода, но на удалении от конца $P_+^{\ell_T+\varepsilon}$ окна Неймана примем простейший асимптотический анзац

$$u_T^\varepsilon(x) = u_T^0(x) + \varepsilon u_T'(x) + \dots \quad (4.3)$$

В то же время на больших расстояниях от торца Υ_0 представим собственную функцию как медленно затухающую волну

$$\begin{aligned} u_T^\varepsilon(x) &= a_T^\varepsilon \sin(\pi x_2) e^{-x_1 \sqrt{\pi^2 - \lambda_T^\varepsilon}} + \dots \\ &= (a_T^0 + \varepsilon a_T' + \dots) \sin(\pi x_2) (1 - \varepsilon \theta x_1 + \dots) + \dots, \end{aligned} \quad (4.4)$$

удовлетворяющую задаче Дирихле для уравнения Гельмгольца в полосе Π с параметром (4.1). При этом незамедлительное согласование разложений (4.1), (2.28) и (4.6) на уровне $1 = \varepsilon^0$ показывает, что

$$a_T^0 = 1. \quad (4.5)$$

Подчеркнем, что в этом параграфе все объекты асимптотического анализа вещественные.

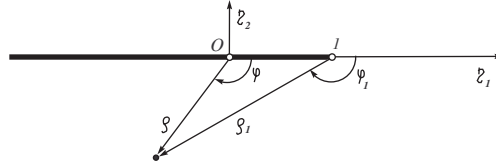


Рис. 3. Нижняя полуплоскость с полубесконечным “окном” Неймана (полужирная линия) и полярные координаты с центрами $(0, 0)$ и $(1, 0)$.

Наконец, следуя [17], [30, гл. 7, §3] и др., в непосредственной близости от точки $P_+^{\ell_T + \varepsilon}$ построим пограничный слой в растянутых координатах

$$\eta = (\eta_1, \eta_2) = (\varepsilon^{-1}(x_1 - \ell_T), \varepsilon^{-1}(x_2 - 1)). \quad (4.6)$$

Замена координат $x \mapsto \eta$ и формальный переход к $\varepsilon = 0$ приводит к задаче в нижней полуплоскости (рис. 3)

$$-\Delta z(\eta) = 0, \quad \eta \in \mathbb{R}_-^2 = \mathbb{R} \times (-\infty, 0), \quad (4.7)$$

$$z(\eta_1, 0) = 0, \quad \eta_1 > 1, \quad \partial_2 z(\eta_1, 0) = 0, \quad \eta_1 < 1. \quad (4.8)$$

Краевые условия (4.8) унаследованы от условий (1.2), но уравнение Лапласа (4.7) возникло потому, что $\Delta_x + \lambda_T^\varepsilon = \varepsilon^{-2}\Delta_\eta + O(1)$ в силу предположения (4.1), т.е. предельный переход $\varepsilon \rightarrow +0$ превращает оператор Гельмгольца в оператор Лапласа. Члены пограничного слоя суть степенные решения (3.5) в системе полярных координат $(\rho_1, \varphi_1) \in \mathbb{R}_+ \times (0, \pi)$ с центром $P^1 = (1, 0)$ – в эту точку переходит конец $P_+^{\ell_T + \varepsilon}$ удлиненного окна Неймана при замене $x \mapsto \eta$. При учете поведения (3.12) главного члена u_T^0 внешнего разложения (4.3) положим

$$u_T^\varepsilon(x) = \varepsilon^{1/2} K_T^0 \rho_1^{1/2} \sin \frac{\varphi_1}{2} + \dots \quad (4.9)$$

Выражение из правой части (4.9) переразложим в полярных координатах $\rho = \sqrt{(\eta_1 - 1)^2 + \eta_2^2} = \varepsilon^{-1} r_+$ и $\varphi = \varphi_+$. Поскольку $\rho_1 = \rho + 1$ при $\varphi = \varphi_1 = \pi$ (см. рис. 3 и ср. рекомендации в замечании 3.1), получаем

$$K_T^0 \rho_1^{1/2} \sin \frac{\varphi_1}{2} = K_T^0 \left(\rho^{1/2} + \frac{1}{2} \rho^{-1/2} \right) \sin \frac{\varphi}{2} + O(\rho^{-3/2}) \text{ при } \rho \rightarrow +\infty. \quad (4.10)$$

Теперь нужно согласовать разложение (4.3) на уровне ε с разложениями (4.4), (4.5) на бесконечности и (4.9), (4.10) около точки $P_+^{\ell_T+\varepsilon}$. В результате задача

$$-\Delta u'_T(x) = \pi^2 u'_T(x), \quad x \in \Pi_+, \quad (4.11)$$

$$\begin{aligned} \partial_1 u'_T(x_1, 1) = 0, \quad x_1 \in (0, \ell_T), \quad u'_T(x_1, 1) = 0, \quad x_1 \in (\ell_T, +\infty), \\ u'_T(x_1, 0) = 0, \quad x_1 \in (0, +\infty), \end{aligned} \quad (4.12)$$

с одним из искусственных краевых условий (4.10) снабжается предоставленными процедурой сращивания асимптотическими условиями в рамках соглашения (3.14)

$$u'_T(x) = \frac{1}{2} K_T^0 r_+^{-1/2} \sin\left(\frac{\varphi_+}{2}\right) + O(r_+^{1/2}), \quad r_+ \rightarrow +0, \quad (4.13)$$

$$u'_T(x) = (a'_T - \theta x_1) \sin(\pi x_2) + O\left(e^{-\pi\sqrt{3}x_1}\right), \quad x_1 \rightarrow +\infty. \quad (4.14)$$

Существование такого решения обеспечено общими результатами теории Кондратьева [49], конкретизованными для рассматриваемой задачи, например, в книге [30, гл. 2 и 7], а именно, решение с нужным поведением (4.14) наличествует всегда, однако коэффициент a'_T остается произвольным (его можно обратить в нуль путем вычитания функции $c'_T u_T^0$ с подходящим коэффициентом c'_T), а связь коэффициентов K_T^0 и θ , как обычно в подобных ситуациях, определяется подстановкой в формулу Грина на области $\Pi_+(R) \setminus \mathbb{B}_{1/R}(P_+^{\ell_T})$ (длинный прямоугольник с мелкой круглой каверной) функций u' и u^0 :

$$\begin{aligned} 0 = \lim_{R \rightarrow +\infty} \int_0^1 (u_T^0(R, x_2) \partial_1 u'_T(R, x_2) - u'_T(R, x_2) \partial_1 u_T^0(R, x_2)) dx_2 \\ - \lim_{R \rightarrow +\infty} \frac{1}{R} \int_0^\pi (u_T^0(x) \partial_{r_+} u'_T(x) - u'_T(x) \partial_{r_+} u_T^0(x)) \Big|_{r_+=1/R} d\varphi_+. \end{aligned} \quad (4.15)$$

Вычисление интегралов и предельный переход дают выражение $-\frac{1}{2}\theta + \frac{\pi}{2}(K_T^0)^2$ для правой части (4.15). Следовательно,

$$\theta = \pi(K_T^0)^2 > 0. \quad (4.16)$$

Итак, найден поправочный член $-\varepsilon^2\theta^2$ в асимптотике (4.1) собственного числа λ^ε вспомогательных задач (1.1), (1.2), (2.19) $_T$ при $T = D$

или $T = N$, а также и исходной задачи (1.1), (1.2). Следующее утверждение будет доказано в п. 4, §5.

Теорема 4.1. *Пусть при $\ell = \ell_T$ в задаче (1.1), (1.2), (2.19)_T реализуется правильный пороговый резонанс, причем дополнительно $K_N^{\ell_N} \neq 0$ в случае искусственных краевых условий Неймана. Тогда найдутся такие положительные величины ε_T , c_T и Λ_T , что при $\varepsilon \in (0, \varepsilon_T]$ возмущенная задача (1.1), (1.2), (2.19)_T с параметром $\ell = \ell_T + \varepsilon$ имеет собственное число, удовлетворяющее оценке*

$$|\lambda_T^\varepsilon - \pi^2 + \varepsilon^2 \theta^2| \leq c_T \varepsilon^{5/2}, \quad (4.17)$$

где множитель $\theta > 0$ находится по формуле (4.16). Такое “околопороговое” собственное число единственно, т.е. нет других точек дискретного спектра $\sigma_d^{\ell_T + \varepsilon}$ на интервале $(\pi^2 - \Lambda_T, \pi^2)$.

Теорема 4.1 дает асимптотику околопорогового собственного числа задачи (1.1), (1.2), но формула (4.17), разумеется, не способна описать весь дискретный спектр $\sigma_d^{\ell_T + \varepsilon}$. Собственные числа из непустого дискретного спектра $\sigma_d^{\ell_T} \subset (0, \pi^2)$ оператора A^{ℓ_T} претерпевают возмущения $O(\varepsilon)$, которые находятся при помощи классических результатов спектрального анализа самосопряженных операторов в гильбертовом пространстве (см., например, [2, 50], а также п. 4, §5).

4.2. Правильный пороговый резонанс и нулевой коэффициент интенсивности. Согласно лемме 3.2 указанная ситуация возможна только в случае искусственных условий Неймана, т.е. $T = N$ всюду в данном пункте. Асимптотическая процедура из п. 1, §4 в целом сохраняется, но загромождается, так как для построения поправки⁶ в асимптотике собственного числа

$$\lambda_N^\varepsilon = \pi^2 - \varepsilon^6 \theta^2 + \tilde{\lambda}_N^\varepsilon \quad (4.18)$$

требуется построить большее число членов внешнего и внутреннего разложений. Изменения в процедуре объясняются следующим наблюдением о пограничном слое в окрестности точки $P_+^{\ell_N + \varepsilon}$, основанном

⁶Показатели 2 и 6 степеней параметра ε в соотношениях (4.1) и (4.18) вычисляются по формуле $2 \times 2(k + 1/2)$, где $k = 0$ и $k = 1$ – индексы степенных решений (3.5) со знаком плюс, фигурирующих в представлениях (3.12) и (3.19) почти стоячих волн u_T^ℓ и u_N^ℓ .

на формулах (3.6) из замечания 3.1 и связи систем полярных координат (ρ_1, φ_1) и (ρ, φ) (рис. 3), которая уже использовалась при выводе соотношения (4.10):

$$\begin{aligned} \rho_1^{3/2} \sin\left(\frac{3}{2}\varphi_1\right) + \frac{3}{2}\rho_1^{1/2} \sin\frac{\varphi_1}{2} &= \rho^{3/2} \sin\left(\frac{3}{2}\varphi\right) \\ + \frac{3}{8}\rho^{-1/2} \sin\frac{\varphi}{2} + \frac{1}{8}\rho^{-3/2} \sin\left(\frac{3}{2}\varphi\right) &+ O(\rho^{-5/2}), \quad \rho \rightarrow +\infty, \end{aligned} \quad (4.19)$$

и

$$\begin{aligned} \rho_1^{5/2} \sin\left(\frac{5}{2}\varphi_1\right) &= \rho^{5/2} \sin\left(\frac{5}{2}\varphi\right) - \frac{5}{2}\rho^{3/2} \sin\left(\frac{3}{2}\varphi\right) \\ + \frac{15}{8}\rho^{1/2} \sin\frac{\varphi}{2} + \frac{5}{16}\rho^{-1/2} \sin\frac{\varphi}{2} &+ O(\rho^{-3/2}), \quad \rho \rightarrow +\infty. \end{aligned} \quad (4.20)$$

В левых частях формул (4.19) и (4.20) присутствуют те степенные решения (3.5), которые допустимы в качестве членов разложения около точки $P_+^{\ell+\varepsilon}$ собственной функции $u_N^\varepsilon \in H_{loc}^1(\overline{\Pi_+})$ задачи (1.1), (1.2), (2.19)_N. Первые слагаемые из правых частей этих формул, умноженные соответственно на “младшие” коэффициенты интенсивности K_{N3}^0 , K_{N5}^0 и порожденные растяжением координат множители $\varepsilon^{3/2}$, $\varepsilon^{5/2}$, фигурируют в следующей асимптотике при $r_+ \rightarrow +0$ решения (2.25)_N предельной ($\varepsilon = 0$) задачи:

$$\begin{aligned} u_N^0(x) &= K_{N3}^0 r_+^{3/2} \sin\left(\frac{3}{2}\varphi\right) + K_{N5}^0 r_+^{5/2} \sin\left(\frac{5}{2}\varphi\right) + O(r_+^{7/2}) \\ &= \varepsilon^{3/2} K_{N3}^0 \rho^{3/2} \sin\left(\frac{3}{2}\varphi\right) + \varepsilon^{5/2} K_{N5}^0 \rho^{5/2} \sin\left(\frac{5}{2}\varphi\right) + O(\varepsilon^{7/2} \rho^{7/2}). \end{aligned} \quad (4.21)$$

Оставшиеся в (4.19) сингулярные (с отрицательными показателями степеней радиальной переменной ρ) слагаемые будут назначены в качестве данных аналогичных (4.13) асимптотических условий для младших членов анзаца

$$u_T^\varepsilon(x) = u_T^0(x) + \varepsilon^2 u_T'(x) + \varepsilon^3 u_T''(x) + \dots \quad (4.22)$$

Наконец, в правой части формулы (4.19) нет гармоники $\rho^{1/2} \sin(\varphi/2)$, которую нельзя принять как упомянутое данное, – ее отсутствие обеспечено подбором коэффициента при $\rho_1^{1/2} \sin(\varphi_1/2)$ в левой части. Аналогичные действия нужно было бы произвести и с формулой (4.20), уничтожив в ее правой части слагаемые $O(\rho^{3/2})$ и $O(\rho^{1/2})$, однако подобные преобразования не понадобятся при построении начальных членов асимптотики – см. замечание 4.1.

Опишем разложения собственной функции других типов и произведем сращивание. Асимптотический анзац (4.18) для собственного числа λ_N^ε приводит к такой формуле для собственной функции на удалении от окна Неймана:

$$\begin{aligned} u_T^\varepsilon(x) &= a_N^\varepsilon \sin(\pi x_2) e^{-x_1 \sqrt{\pi^2 - \lambda_N^\varepsilon}} + \dots \\ &= (1 + \varepsilon^2 a_N' + \varepsilon^3 a_N'' + \dots) \sin(\pi x_2) (1 - \varepsilon^3 \theta x_1 + \dots) + \dots \end{aligned} \quad (4.23)$$

Равенство $a_N^0 = 1$ – результат первичного сращивания с решением (2.25) (ср. формулу (4.5)).

Наконец, внутреннее разложение около точки $P_+^{\ell+\varepsilon}$ составим из следующих решений задачи (4.7), (4.8):

$$\begin{aligned} u_N^\varepsilon(x) &= \varepsilon^{3/2} K_{N3}^0 \left(\rho_1^{3/2} \sin\left(\frac{3}{2}\varphi_1\right) + \frac{3}{2}\rho_1^{1/2} \sin\frac{\varphi_1}{2} \right) \\ &\quad + \varepsilon^{5/2} K_{N3}' \rho_1^{1/2} \sin\frac{\varphi_1}{2} + \dots \end{aligned} \quad (4.24)$$

Коэффициент K_{N3}' подлежит определению, но оказывается несущественным, коэффициент K_{N3}^0 взят из разложения (4.21), а по поводу отсутствия слагаемого $K_{N5}^0 r_+^{5/2} \sin\left(\frac{5}{2}\varphi\right)$ сошлемся на замечание 4.1.

Все подготовлено для применения процедуры сращивания. Согласование на уровне ε^2 разложений (4.22) и (4.19), (4.24) дает для члена u_N' задачу $(4.11)_N$, $(4.12)_N$, $(2.19)_N$ с асимптотическими условиями, понимаемыми в смысле (3.14),

$$\begin{aligned} u_N'(x) &= -\frac{3}{8} K_{N3}^0 r_+^{-1/2} \sin\left(\frac{\varphi}{2}\right) + O(r_+^{1/2}), \quad r_+ \rightarrow +0, \\ u_N'(x) &= a_N' \sin(\pi x_2) + O\left(e^{-\pi\sqrt{3}x_1}\right), \quad x_1 \rightarrow +\infty. \end{aligned} \quad (4.25)$$

Поскольку по предположению решение $(2.25)_N$ предельной ($\varepsilon = 0$) задачи приобретает порядок $r_+^{3/2}$ в точке P_+^ℓ , условие разрешимости указанной задачи выполнено благодаря тому, что у функции u_N' нет линейного роста на бесконечности, а предел при $R \rightarrow +\infty$ интеграла по $(0, \pi) \ni \varphi$ обращается в нуль, так как синусы $\sin\left(\frac{1}{2}\varphi\right)$ и $\sin\left(\frac{3}{2}\varphi\right)$ ортогональны в пространстве $L^2(0, \pi)$ (ср. соотношение (4.15)). Таким образом, можно выбрать решение сформулированной задачи, затухающее при $x_1 \rightarrow +\infty$ с экспоненциальной скоростью (взяли $a_N' = 0$ в

формулах (4.23) и (4.25)) и допускающее представление

$$u'_N(x) = -\frac{3}{8} K_{N3}^0 r_+^{-1/2} \sin\left(\frac{\varphi}{2}\right) + \mathbf{K}'_N r_+^{1/2} \sin\left(\frac{\varphi}{2}\right) + O(r_+^{1/2}), \quad r_+ \rightarrow +0 \quad (4.26)$$

(уточнили первую строку (4.25)).

Произведем сращивание на уровне ε^3 . Поскольку возмущение спектрального параметра (4.18) – бесконечно малая $O(\varepsilon^6)$ более высокого порядка, для члена u''_N анзаца (4.22) выводим прежнюю дифференциальную задачу (4.11), (4.12), (2.19)_N, однако в силу представлений (4.21), (4.26), (4.23) и связей (4.19), (4.10) асимптотические условия вида (4.25) становятся такими:

$$\begin{aligned} u''_N(x) &= \frac{1}{8} K_{N3}^0 r_+^{-3/2} \sin\left(\frac{3}{2}\varphi\right) + \frac{1}{2} \mathbf{K}''_N r_+^{-1/2} \sin\left(\frac{\varphi}{2}\right) \\ &\quad + O(r_+^{1/2}), \quad r_+ \rightarrow +0, \\ u''_N(x) &= (a''_N - \theta x_1) \sin(\pi x_2) + O\left(e^{-\pi\sqrt{3}x_1}\right), \quad x_1 \rightarrow +\infty. \end{aligned} \quad (4.27)$$

Коэффициент \mathbf{K}''_N истолкован в замечании 4.1, но он не проявляется в дальнейших вычислениях. Теперь условие разрешимости полученной задачи для u''_N позволяет найти поправочный член $-\varepsilon^6\theta^2$ в представлении (4.18) собственного числа, а именно, аналогично формуле (4.15) выводим соотношения

$$\begin{aligned} 0 &= \lim_{R \rightarrow +\infty} \int_0^1 (u_T^0(R, x_2) \partial_1 u''_N(R, x_2) - u''_N(R, x_2) \partial_1 u_N^0(R, x_2)) dx_2 \\ &\quad - \lim_{R \rightarrow +\infty} \frac{1}{R} \int_0^1 (u_N^0(x) \partial_{r_+} u''_N(x) - u''_N(x) \partial_{r_+} u_N^0(x)) \Big|_{r_+=1/R} d\varphi_+ \\ &= -\theta \int_0^1 \sin^2(\pi x_2) dx_2 \\ &\quad - \frac{1}{8} (K_{N3}^0)^2 \lim_{R \rightarrow +\infty} \frac{1}{R} \int_0^\pi \left(r_+^{3/2} \sin\left(\frac{3}{2}\varphi\right) \partial_{r_+} r_+^{-3/2} \sin\left(\frac{3}{2}\varphi\right) \right. \\ &\quad \left. - r_+^{-3/2} \sin\left(\frac{3}{2}\varphi\right) \partial_{r_+} r_+^{3/2} \sin\left(\frac{3}{2}\varphi\right) \right) \Big|_{r_+=1/R} d\varphi_+ \end{aligned}$$

$$= -\frac{1}{2}\theta + \frac{3\pi}{16}(K_{N3}^0)^2 \Rightarrow \theta = \frac{3}{8}\pi(K_{N3}^0)^2 > 0. \quad (4.28)$$

Итак, поправка $-\varepsilon^6\theta^2$ в асимптотике (4.18) собственного числа λ_N^ε найдена, а оценка остатка $\tilde{\lambda}_N^\varepsilon$ будет пояснена в п. 4, §5.

Теорема 4.2. Пусть при $\ell = \ell_N$ в задаче (1.1), (1.2), (2.19)_N реализуется правильный пороговый резонанс, причем $K_{N3}^{\ell_N} = 0$. Тогда найдутся такие положительные величины ε_N , c_N и Λ_N , что при $\varepsilon \in (0, \varepsilon_N]$ возмущенная задача (1.1), (1.2), (2.19)_N с параметром $\ell = \ell_N + \varepsilon$ имеет собственное число, удовлетворяющее оценке

$$|\lambda_N^\varepsilon - \pi^2 + \varepsilon^6\theta^2| \leq c_N\varepsilon^7,$$

где множитель $\theta > 0$ находится по формуле (4.28). Такое “околопороговое” собственное число единственно, т.е. нет других точек дискретного спектра $\sigma_{dN}^{\ell_N+\varepsilon}$ на интервале $(\pi^2 - \Lambda_N, \pi^2)$.

Замечание 4.1. Слагаемое $O(r_+^{5/2})$ из представления (4.21) почти стоячей волны не было учтено в процедуре сращивания потому, что благодаря связи $r_+ = \varepsilon\rho$, множителю ε^2 при u'_N и очевидным соотношениям

$$\varepsilon^3 = \varepsilon^{5/2} \times \varepsilon^{1/2} \quad \text{и} \quad \varepsilon^3 = \varepsilon^2 \times \varepsilon^{1/2} \times \varepsilon^{1/2},$$

используемым в процедуре сращивания, коэффициент \mathbf{K}'_N при сингулярности $O(r_+^{-1/2})$ в соотношении (4.27) – линейная комбинация коэффициентов K_{N5}^0 и K'_{N3} из разложений (4.21) и (4.26) соответственно. Величина \mathbf{K}'_N не сказывается на окончательном выводе (4.28), а выражение $O(\varepsilon^{5/2})$, указанное во внутреннем разложении (4.24) для пояснений к сращиванию, все еще нуждается в уточнении.

4.3. Порог – собственное число. Пусть при некотором $\ell = \ell_T$ простой пороговый резонанс возник как результат включения $\lambda_\dagger \in \sigma_{pT}^{\ell_T}$, а соответствующая собственная функция $u_T^0 = u_T^{\ell_T} \in H^1(\Pi_+)$ задачи (1.1), (1.2), (2.19)_T нормирована в пространстве $L^2(\Pi_+)$. Считаем, что коэффициент интенсивности $K_T^0 := K_T^{\ell_T}$ отличен от нуля (см. лемму 3.2 и теорему 3.1, 2°, для случая $T = D$ и теорему 3.1, 3°, для случая $T = N$). При этом приходится изменить асимптотические анзацы из п. 1, §4, а именно, теперь собственное число $\lambda_T^\varepsilon \in \sigma_{dT}^{\ell_T}$ ищем в виде

$$\lambda_T^\varepsilon = \lambda_\dagger - \varepsilon\theta^2 + \tilde{\lambda}_T^\varepsilon, \quad \theta > 0. \quad (4.29)$$

Кроме того, анзацы (4.9) и (4.1) для собственной функции u_T^ε сохраняются, однако во внутреннем разложении фигурируют функции u_T^0 и u_T' , экспоненциально затухающая на бесконечности и ограниченная соответственно (ср. далее представление (4.13)), и потому разложение (4.4) на первом этапе не требуется. Увеличение до ε порядка возмущения собственного числа (4.29) (в сравнении с прежним порядком ε^2 в формуле (4.1)) приводит к такой модификации уравнения (4.4):

$$-\Delta u_T'(x) - \pi^2 u_T'(x) = -\theta^2 u_T^0(x), \quad x \in \Pi_+. \quad (4.30)$$

Краевые условия (4.12) и асимптотическое условие (4.13) около точки $P_+^{\ell_T}$ остаются без изменений и их достаточно для того, чтобы найти ограниченное решение полученной задачи. Как обычно, условие его существования (см. лемму 4.1) дает выражение для поправочного члена $-\varepsilon\theta^2$:

$$\begin{aligned} \theta^2 &= \theta^2 \|u_T^0; L^2(\Pi_+)\|^2 = \lim_{R \rightarrow +\infty} \int_{\Pi_+} u_T^0(x) (\Delta u_T'(x) + \pi^2 u_T'(x)) dx \\ &= \lim_{R \rightarrow +\infty} \int_0^1 (u_T^0(R, x_2) \partial_1 u_T'(R, x_2) - u_T'(R, x_2) \partial_1 u_T^0(R, x_2)) dx_2 \\ &\quad - \lim_{R \rightarrow +\infty} \frac{1}{R} \int_0^1 (u_T^0(x) \partial_{r_+} u_T'(x) - u_T'(x) \partial_{r_+} u_T^0(x)) \Big|_{r_+=1/R} d\varphi_+ \\ &= \frac{\pi}{2} (K_T^0)^2. \end{aligned} \quad (4.31)$$

Лемма 4.1. *Если простой пороговый резонанс $\lambda_\dagger \in \sigma_{pT}^{\ell_T}$ порожден собственной функцией $u_T^0 \in H^1(\Pi_+)$, то задача (4.30), (4.12), (4.13) имеет решение*

$$u_T'(x) = \chi(x_1 - \ell) k_T' \sin(\pi x_2) + \chi_0(r_+) \frac{1}{2} K_T^0 r_+^{-1/2} \sin \frac{\varphi_+}{2} + \widehat{u}_T'(x). \quad (4.32)$$

где $k_T' \in \mathbb{R}$ – некоторое число, а для остатка \widehat{u}_T' выполнены соотношения (3.13). Решение (4.32) определено с точностью до захваченной волны $s_T' u_T^0$ с произвольным множителем s_T' .

Доказательство. В рамках соглашения (3.14) назначим в волноводе Π_+ энергетическое условие излучения

$$\mathbf{u}'_T(x) = \mathbf{k}'_T w_+(x - \ell) + O(e^{-\pi\sqrt{3}x_1}), \quad x_1 \rightarrow +\infty, \quad (4.33)$$

в котором w_+ – уходящая линейная волна (2.20), а \mathbf{k}'_T – коэффициент рассеяния, определяемый однозначно при решении всей задачи (4.30), (4.12), (4.13), (4.33). Вместе с тем решение \mathbf{u}'_T определено с точностью до слагаемого $\mathbf{c}'_T u_T^0$, однако общие результаты [30, гл. 5] (см. также статьи [35, 36] о квантовых волноводах) показывают что такое решение существует при выполнении одного условия разрешимости, которое, как обычно, принимает вид (4.31). Теперь положим

$$u'_T = \mathbf{u}'_T + C_T \zeta_T^\ell \quad (4.34)$$

и при учете формул (2.20) и (2.23) получим следующее представление при $x_1 \rightarrow +\infty$:

$$u'_T(x) = (\mathbf{k}'_T(x_1 - \ell - i) + C_T((x_1 - \ell + i) + s_T^\ell(x_1 - \ell - i)) \sin(\pi x_2) + O(e^{-\pi\sqrt{3}x_1}). \quad (4.35)$$

По определению дифракционного решения $\zeta_T^\ell \in H_{loc}^1(\overline{\Pi_+})$ сумма (4.34) по-прежнему удовлетворяет рассматриваемой задаче, и, поскольку $s_T^\ell \neq -1$ в силу предложения 2.1 и предположения о правильном пороговом резонансе, уничтожим линейный рост правой части (4.35), зафиксировав коэффициент

$$C_T = -\frac{\mathbf{k}'_T}{1 + s_T^\ell}.$$

Ограниченное решение (4.34) построено и лемма доказана. \square

Стабилизация решения (4.32) при $x_1 \rightarrow +\infty$ не препятствует вычислению (4.31) коэффициента

$$\theta^2 = \frac{\pi}{2} (K_T^0)^2 \quad (4.36)$$

в поправочном члене анзаца (4.29) для собственного числа задачи (1.1), (1.2), (2.19)_T, однако при обосновании асимптотики в п. 4, §5 требуется затухающая приближенная собственная функция. Она возникает в результате традиционного сращивания с аналогичной (4.4) волной

$$\varepsilon k'_T e^{-\sqrt{\pi^2 - \lambda_T^\varepsilon} x_1} \sin(\pi x_2) = \varepsilon k'_T (1 + O(\sqrt{\varepsilon} x_1)).$$

Следующее утверждение обсуждается в п. 4, §5.

Теорема 4.3. Пусть $T = D, N$ и при $\ell = \ell_T$ в задаче (1.1), (1.2), (2.19)_T реализуется пороговый резонанс, обусловленный наличием собственной функции $u_T^{\ell_T}$, которую нормируем в $L^2(\Pi_+)$. При $T = N$ дополнительно считаем, что $K_N^0 \neq 0$. Тогда найдутся такие положительные величины ε_T, c_T и Λ_T , что при $\varepsilon \in (0, \varepsilon_T]$ возмущенная задача (1.1), (1.2), (2.19)_T с параметром $\ell = \ell_T + \varepsilon$ имеет собственное число, удовлетворяющее оценке

$$|\lambda_T^\varepsilon - \pi^2 + \varepsilon\theta^2| \leq c_T \varepsilon^{3/2}, \quad (4.37)$$

где множитель $\theta > 0$ находится по формуле (4.36), K_T^0 – коэффициент интенсивности собственной функции u_T^0 . Такое “околопороговое” собственное число единственно, т.е. нет других точек дискретного спектра $\sigma_{Td}^{\ell_T + \varepsilon}$ на интервале $(\pi^2 - \Lambda_T, \pi^2)$.

Замечание 4.2. 1) Теорема 4.3 не обслуживает гипотетическую ситуацию, в которой равен нулю коэффициент интенсивности $K_N^{\ell_N}$ собственной функции задачи (1.1), (1.2), (2.19)_T на пороге $\lambda_+ = \pi^2$. При помощи максиминимального принципа [2, теорема 10.2.2] нетрудно установить, что при малом $\varepsilon > 0$ кратность дискретного спектра $\sigma_{Nd}^{\ell_N + \varepsilon}$ возрастает за счет возникновения околопорогового собственного числа. На основе результатов п. 2, §4 нетрудно предсказать скорость $O(\varepsilon^6)$ его отщепления от порога – такой результат можно получить путем построения младших асимптотических членов (напоминаем, что $K_{N3}^{\ell_N} \neq 0$). Кроме того, в этом случае $u_D^{\ell_N} = \partial_1 u_N^{\ell_N}$ – собственная функция задачи (1.1), (1.2), (2.19)_D при $\lambda = \pi^2$, и поскольку $K_D^{\ell_N} \neq 0$ в силу леммы 3.2, у возмущенной задачи (1.1), (1.2), (2.19)_D с параметром $\ell_N + \varepsilon$ есть собственное число из формулы (4.37) при $T = D$. Таким образом, у задачи (1.1), (1.2) в целевой полосе Π возникают два околопороговых собственных числа с разными скоростями отщепления от порога.

2) Формулы (4.29) и (4.31) сохраняют силу и при отрицательном малом параметре ε (окно Неймана сужается). На первый взгляд кажется, что тем самым конкретизируется асимптотика собственного числа задачи (1.1), (1.2), (2.19)_T, вкрапленного в ее непрерывный спектр $\sigma_{Tc}^{\ell_T - |\varepsilon|}$. Скоропалительный вывод может случиться ошибочным, поскольку собственные числа из непрерывного спектра обладают природной неустойчивостью. Таким образом, для выяснения того, является ли в точечном спектре $\sigma_{Tp}^{\ell_T - |\varepsilon|}$ собственное число или оно смещается в комплексную плоскость, превращаясь в точку комплексного

резонанса (ср. [51, 52] и др.), опять требуется найти младшие асимптотические члены, которые тем не менее строить не будем, так как все неясности возникают только в гипотетической ситуации.

4.4. Отсутствие двойного порогового резонанса в исходной задаче. В условиях теоремы 4.2 у задачи (1.1), (1.2), (2.19)_D при $\ell = \ell_N$ также реализуется пороговый резонанс, порожденный захваченной волной $u_D^{\ell_N} = \partial_1 u_N^{\ell_N} \in H^1(\Pi_+)$ (см. теорему 3.1, 1° и 3°), т.е. порог в спектре исходной задачи (1.1), (1.2) оказывается двойным. Вместе с тем теоремы 4.2 и 4.3 предоставляют два собственных числа этой задачи в Π , которые заведомо приобретают разные скорости отщепления от порога. Иными словами, в предположении из теоремы 3.1, 1°, при малом $\varepsilon > 0$ существуют в точности два простых околпороговых собственных числа оператора $A^{\ell_N + \varepsilon}$ задачи (1.1), (1.2) в Π . Этот вывод противоречит лемме 1.1, а значит, все пороговые резонансы простые и в спектре исходной задачи в цельной полосе (ср. теорему 3.1, 4°).

§5. ОБОСНОВАНИЕ АСИМПТОТИК СОБСТВЕННЫХ ЧИСЕЛ

5.1. Абстрактная постановка задачи. Ввиду геометрической симметрии задачи (1.1), (1.2) в полосе Π каждую ее собственную функцию можно представить как сумму двух функций, четной и нечетной относительно переменной x_1 , причем для простого собственного числа одна из составляющих тривиальна. Таким образом, в п. 1, §2 можно было изначально иметь дело с задачами (1.1), (1.2), (2.19)_T при $T = D$ и $T = N$. Именно так и поступим в данном параграфе, однако индексы писать не будем.

В гильбертовом пространстве \mathcal{H}^ℓ , заданном формулой (4.2), введем скалярное произведение

$$\langle u^\ell, \psi^\ell \rangle = (\nabla u^\ell, \nabla \psi^\ell)_{\Pi_+} \quad (5.1)$$

и переформулируем интегральное тождество, обслуживающее указанную задачу, как абстрактное уравнение

$$\mathcal{T}^\ell v^\ell = \tau^\ell v^\ell \text{ в } \mathcal{H}^\ell$$

с новым спектральным параметром

$$\tau^\ell = (\lambda^\ell)^{-1} \quad (5.2)$$

и положительно определенным, симметричным и непрерывным, а значит, самосопряженным оператором \mathcal{T}^ℓ , заданным при помощи тождества

$$\langle \mathcal{T}^\ell v^\ell, \psi^\ell \rangle = (\nabla v^\ell, \nabla \psi^\ell)_{\Pi_+}, \quad u^\ell, \psi^\ell \in \mathcal{H}^\ell. \quad (5.3)$$

Согласно связи (5.2) спектральных параметров существенный спектр Σ_c^ℓ оператора \mathcal{T}^ℓ – замкнутый сегмент $[0, \tau_\dagger]$ с точкой отсечки $\tau_\dagger = \pi^{-2}$, а на полуинтервале $(\tau_\dagger, \mathcal{N}^\ell]$ располагается его дискретный спектр Σ_d^ℓ ; здесь \mathcal{N}^ℓ – норма оператора \mathcal{T}^ℓ .

Следующее утверждение, известное как лемма о “почти собственных” значениях [53], вытекает из спектрального разложения резольвенты [2, гл. 6].

Лемма 5.1. Пусть $\mathcal{V}^\ell \in \mathcal{H}^\ell$ и $t^\ell > \tau_\dagger$ таковы, что

$$\|\mathcal{V}^\ell; \mathcal{H}^\ell\| = 1, \quad \|\mathcal{T}^\ell \mathcal{V}^\ell - t^\ell \mathcal{V}^\ell; \mathcal{H}^\ell\| =: \delta^\ell \in (0, t^\ell - \tau_\dagger). \quad (5.4)$$

Тогда на замкнутом сегменте $[t^\ell - \delta^\ell, t^\ell + \delta^\ell]$ присутствует собственное значение $\tau^\ell \in \Sigma_d^\ell$ оператора \mathcal{T}^ℓ .

5.2. Собственные числа при больших размерах ℓ . Для собственной пары (2.14) задачи (2.13) считаем, что $T = D$ при четном и $T = N$ при нечетном индексе $m \in \mathbb{N}$. Следуя вычислениям из п. 1, §3, в качестве “почти собственного” значения оператора \mathcal{T}^ℓ возьмем

$$t_m^\ell = \left(\frac{\pi^2}{4} + \frac{\pi^2 m^2}{\ell^2} \left(\frac{1}{4} + \frac{M}{\ell} \right) \right)^{-1}, \quad (5.5)$$

а для построения “почти собственного” вектора

$$\mathcal{V}_m^\ell = \|\mathbf{U}_m^\ell; \mathcal{H}^\ell\|^{-1} \mathbf{U}_m^\ell \quad (5.6)$$

применим асимптотическую конструкцию (см. [54], а также [26, гл. 2], [55] и др.), использующую срезающие функции с “перехлестывающимися носителями”. Именно, помимо (2.30) введем срезающую функцию

$$\mathcal{X}^\ell(x_1) = \chi(\ell - x_1), \quad (5.7)$$

$$\mathcal{X}^\ell(x_1) = 1 \text{ при } x_1 \in [0, \ell - 2], \quad \mathcal{X}^\ell(x_1) = 0 \text{ при } x_1 \geq \ell - 1,$$

где χ – эталонная срезка (2.30), и положим

$$\begin{aligned} \mathbf{U}_m^\ell(x) &= \mathcal{X}^\ell(x_1) (\mathcal{U}_m^\ell(\ell^{-1}x_1) + \ell^{-1} \mathcal{U}'_m(\ell^{-1}x_1)) \sin\left(\frac{\pi}{2}x_2\right) \\ &+ \chi(x_1) \ell^{-1} C_m^+ V(x_1 - \ell, x_2) \\ &- \mathcal{X}^\ell(x_1) \chi(x_1) \ell^{-1} C_m^+ ((x_1 - \ell) + M) \sin\left(\frac{\pi}{2}x_2\right), \end{aligned} \quad (5.8)$$

где числа C_m^+ и M взяты из формул (2.16) и (2.7), а функции \mathcal{U}'_m и V – решения задач (2.13) и (2.3)–(2.6) соответственно. Члены (2.15) асимптотических разложений, подвергшиеся сращиванию в п. 1, §2, присутствуют и в первом и во втором слагаемом из правой части равенства (5.8), однако вычитаемое в ней компенсирует такое дублирование.

Функция \mathbf{U}_m^ℓ удовлетворяет всем краевым условиям в задаче (1.1), (1.2), (2.19) благодаря множителю $\sin(\pi x_2/2)$, соотношениям (2.3), (2.4) для V и простому факту: решение \mathcal{U}'_m задачи (2.13) наследует свойство четности/нечетности от собственной функции \mathcal{U}_m^0 . Кроме того, при $x_1 > \ell + 2$ функция (5.8) совпадает с $C_m^\pm V(\xi^+) = O(e^{-\pi\sqrt{3}(x_1-\ell)/2})$, а значит, исчезает на бесконечности с экспоненциальной скоростью и в итоге попадает в пространство \mathcal{H}^ℓ . Иными словами, условия леммы 5.1 выполнены. Вычислим величину δ^ℓ из формулы (2.19).

Прежде всего заметим, что в силу формул (5.8) и (2.6), (2.2) справедливо соотношение

$$\mathbf{U}_m^\ell(x) = \sin\left(\frac{\pi}{2}x_2\right) (\mathcal{U}_m^0(\ell^{-1}x_1) + O(\ell^{-1})) + O(\ell^{-1}e^{\pi\sqrt{2}(x_1-\ell)})$$

при $x_1 < \ell - 2$,

а значит, в согласии с равенством (2.3) при большом ℓ имеем

$$\|\nabla\mathbf{U}_m^\ell; \mathcal{H}^\ell\|^2 \geq \mathbf{c}\ell, \quad \mathbf{c} > 0. \quad (5.9)$$

Наконец, определения (5.1)–(5.3) и (5.5), (5.6) обеспечивают равенство

$$\delta^\ell = \sup | \langle \mathcal{T}^\ell \mathcal{V}_m^\ell - t_m^\ell \mathcal{V}_m^\ell, v^\ell \rangle | = t_m^\ell \|\mathbf{U}_m^\ell; \mathcal{H}^\ell\|^{-1} \sup \left| (\nabla\mathbf{U}_m^\ell, \nabla v^\ell)_{\Pi_+} - \left(\frac{\pi^2}{4} + \frac{\pi^2 m^2}{\ell^2} \left(\frac{1}{4} + \frac{M}{\ell} \right) \right) (\mathbf{U}_m^\ell, v^\ell)_{\Pi_+} \right|. \quad (5.10)$$

Здесь супремум вычисляется по единичному шару в \mathcal{H}^ℓ , т.е. $\|v^\ell; \mathcal{H}^\ell\| \leq 1$, и поэтому проинтегрированные по x_1 одномерные неравенства (2.9) и (2.10) показывают, что

$$\|v^\ell; \mathcal{H}^\ell\|^2 = \|\nabla v^\ell; L^2(\Pi_+)\|^2 \geq \frac{\pi^2}{4} \|v^\ell; L^2(\Pi_+)\|^2. \quad (5.11)$$

Преобразуем выражение между последними знаками модуля в соотношении (5.10), которому при помощи формулы интегрирования по частям придадим вид $(I_m^\ell, v^\ell)_{\Pi_+}$, где

$$\begin{aligned}
 I_m^\ell &:= -\Delta \mathbf{U}_m^\ell - \left(\frac{\pi^2}{4} + \frac{\pi^2 m^2}{\ell^2} \left(\frac{1}{4} + \frac{M}{\ell} \right) \right) \mathbf{U}_m^\ell \\
 &= -\mathcal{X}^\ell \sin \left(\frac{\pi}{2} x_2 \right) \left(\Delta (\mathcal{U}_m^0 + \ell^{-1} \mathcal{U}_m') + \frac{\pi^2 m^2}{\ell^2} \left(\frac{1}{4} + \frac{M}{\ell} \right) (\mathcal{U}_m^0 + \ell^{-1} \mathcal{U}_m') \right) \\
 &\quad - \frac{1}{\ell} C_m^+ \chi \left(\Delta + \frac{\pi^2}{4} \right) V + \mathcal{X}^\ell \chi \sin \left(\frac{\pi}{2} x_2 \right) \ell^{-1} C_m^+ \Delta (\xi_1 + M) \\
 &\quad - \sin \left(\frac{\pi}{2} x_2 \right) [\Delta, \mathcal{X}^\ell] \left(\mathcal{U}_m^0 + \ell^{-1} \mathcal{U}_m' - C_m^+ \left(\frac{x_1}{\ell} - 1 + \frac{M}{\ell} \right) \right) \\
 &\quad - \frac{1}{\ell} C_m^+ [\Delta, \chi] \left(V - (\xi_1^+ + M) \sin \left(\frac{\pi}{2} x_2 \right) \right) \\
 &\quad - \frac{\pi^2 m^2}{\ell^3} \left(\frac{1}{4} + \frac{M}{\ell} \right) C_m^+ \chi \left(V - \chi^\ell (\xi_1^+ + M) \sin \left(\frac{\pi}{2} x_2 \right) \right) \\
 &=: I^1 + I^2 + I^3 + I^4 + I^5 + I^6.
 \end{aligned}$$

Поочередно оценим скалярные произведения $(I^j, v^\ell)_{\Pi_+}$. Сразу же заметим, что $I^2 = 0$ в силу уравнения (2.3) для функции V , в частности, можно не обращать внимания на особенности производных этой функции в точке P^0 . Кроме того, по понятной причине $I^3 = 0$. Поскольку \mathcal{U}_m' – решение задачи (2.13) с параметром из (2.17), а \mathcal{U}_m^0 – соответствующая собственная функция, находим, что

$$\begin{aligned}
 I^1(x) &= -\mathcal{X}^\ell(x_1) \sin \left(\frac{\pi}{2} x_2 \right) \frac{M \pi^2 m^2}{\ell^3} \mathcal{U}_m' \left(\frac{x_1}{\ell} \right) \\
 \Rightarrow \quad |(I^1, v^\ell)_{\Pi_+}| &\leq c_1 \ell^{-3} \|\mathcal{U}_m'; L^2(0, \ell)\| \|v^\ell; L^2(\Pi_+)\| \leq C_1 \ell^{-5/2}.
 \end{aligned} \tag{5.12}$$

При учете формулы Тейлора (2.15) и равенства (2.16) видим, что коммутатор

$$[\Delta, \mathcal{X}^\ell] = 2\partial_1 \mathcal{X}^\ell \partial_1 + (\partial_1^2 \mathcal{X}^\ell), \tag{5.13}$$

носители коэффициентов в котором содержатся во множестве $[\ell - 2, \ell - 1] \times [0, 1]$, действует на функцию порядка ℓ^{-3} , т.е. верна оценка

$$|(I^4, v^\ell)_{\Pi_+}| \leq \frac{c_4}{\ell^3}.$$

Принимая во внимание разложение (2.6) специального решения V задачи (2.3)–(2.5), находим, что последние сомножители в выражениях $I^5(x)$ и $I^6(x)$ затухают как $O(e^{\pi\sqrt{2}\xi_1^+})$ при $\xi_1^+ = x_1 - \ell \rightarrow -\infty$. Таким

образом,

$$\begin{aligned} |(I^5, v^\ell)_{\Pi_+}| &\leq \frac{c_5}{\ell} e^{-\pi\sqrt{2}\ell}, \\ |(I^6, v^\ell)_{\Pi_+}| &\leq \frac{c_6}{\ell^3} \|v^\ell; L(\Pi_+)\| \left(\int_0^\ell e^{2\pi\sqrt{2}(x_1-\ell)} dx_1 \right)^{1/2} \leq \frac{C_6}{\ell^3}. \end{aligned}$$

В первом неравенстве учтено, что носители коммутатора $[\Delta, \chi]$ (ср. формулу (5.13)) расположены на квадрате $[1, 2] \times [0, 1]$, а во втором, впрочем как и во всех предыдущих, использовано неравенство (5.11).

Соберем приведенные неравенства и получим, что величина (5.11) не превосходит $C_m \ell^{-3}$: наихудшая мажоранта $O(\ell^{-5/2})$ возникла в оценке (5.12), однако дополнительный множитель $\ell^{-1/2}$ появился благодаря соотношению (5.9) и присутствию величины $\|\mathbf{U}_m^\ell; \mathcal{H}^\ell\|^{-1}$ в правой части (5.11). Следовательно, лемма 5.1 предоставляет собственное число τ_q^ℓ оператора \mathcal{T}^ℓ , для которого в силу формул (5.2) и (5.5) справедливы формулы

$$\begin{aligned} |\tau_q^\ell - t_m^\ell| &\leq C_m \ell^{-3} \\ \Rightarrow \left| \lambda_q^\ell - \frac{\pi^2}{4} - \frac{\pi^2 m^2}{\ell^2} \left(\frac{1}{4} + \frac{M}{\ell} \right) \right| &\leq \frac{C_m}{\ell^3} \lambda_q^\ell \left(\frac{\pi^2}{4} + \frac{\pi^2 m^2}{\ell^2} \left(\frac{1}{4} + \frac{M}{\ell} \right) \right) \quad (5.14) \\ \Rightarrow \lambda_q^\ell &\leq 2 \left(\frac{\pi^2}{4} + \frac{\pi^2 m^2}{\ell^2} \left(\frac{1}{4} + \frac{M}{\ell} \right) \right) \text{ при } \frac{C_m}{\ell^3} \left(\frac{\pi^2}{4} + \frac{\pi^2 m^2}{\ell^2} \left(\frac{1}{4} + \frac{M}{\ell} \right) \right) \leq \frac{1}{2}. \end{aligned}$$

Окончательно выводим, что при ограничениях $\ell \geq 1$ и последним в списке (5.14) собственное число λ_q^ℓ задачи (1.1), (1.2), (2.19) удовлетворяет соотношению

$$\left| \lambda_q^\ell - \frac{\pi^2}{4} - \frac{\pi^2 m^2}{\ell^2} \left(\frac{1}{4} + \frac{M}{\ell} \right) \right| \leq \frac{C_m \pi^4}{2\ell^3} (1 + m^2(1 + 4M))^2. \quad (5.15)$$

5.3. Доказательство теоремы 2.1. Формулы (5.14) и (5.15) позволяют найти величины $\ell_m^\#$ и $c_m^\#$ из теоремы 2.1, при которых выполнена искомая оценка (2.18) с одним, но существенным изъяном: вместо собственного числа λ_m^ℓ в ней фигурирует собственное число λ_q^ℓ из списка (1.6) с каким-то неизвестным номером q . Как обычно, для проверки равенства $q = m$ требуется теорема “о сходимости”, устанавливающая, что в дискретном спектре σ_d^ℓ нет “чужих” собственных чисел. Подготовимся к проверке этого утверждения и возьмем собственную пару

$\{\lambda_p^\ell, u_p^\ell\}$, для которой

$$\lambda_p^\ell \leq \frac{\pi^2}{4} + \frac{C_p}{\ell^2}, \quad \|u_p^\ell; L^2(\Pi_+)\| = 1. \quad (5.16)$$

Первое соотношение означает, что найдется монотонная неограниченная последовательность $\{\ell^{(j)}\}_{j \in \mathbb{N}}$, вдоль которой верна сходимость

$$\ell^2 \left(\lambda_p^{\ell^{(j)}} - \frac{\pi^2}{4} \right) \rightarrow \Lambda_p^\infty \text{ при } j \rightarrow +\infty. \quad (5.17)$$

Далее индекс j не пишем, а формулу $j \rightarrow +\infty$ заменяем формулой $\ell \rightarrow +\infty$.

Убедимся в том, что предел $\Lambda^{(p)}$ – собственное число обыкновенного дифференциального уравнения

$$-\partial_y^2 \mathcal{U}(y) = \Lambda \mathcal{U}(y), \quad y \in (0, 1), \quad (5.18)$$

с краевыми условиями

$$\mathcal{U}(1) = 0, \quad \mathcal{U}(0) = 0 \text{ или } -\partial_y \mathcal{U}(0) = 0. \quad (5.19)$$

Условие в точке $y = 0$ назначается в соответствии с искусственным краевым условием Дирихле или Неймана (2.19).

Введем функцию взвешенного среднего

$$(0, 1) \ni y \mapsto \mathcal{U}_{(p)}^\ell(y) = \sqrt{2\ell} \int_0^1 u_p^\ell(\ell y, x_2) \sin\left(\frac{\pi}{2} x_2\right) dx_2, \quad (5.20)$$

Ясно, что для нее выполнены краевые условия (5.19) в точке $y = 0$ благодаря соотношениям (2.19) для u_p^ℓ . При этом остаток

$$u_{p\perp}^\ell(x) = u_p^\ell(x) - \sqrt{\frac{2}{\ell}} \sin\left(\frac{\pi}{2} x_2\right) \mathcal{U}_{(p)}^\ell\left(\frac{x_1}{\ell}\right) =: u_p^\ell(x) - u_{pb}^\ell(x) \quad (5.21)$$

удовлетворяет тем же краевым условиям на основаниях и торце Υ_0 прямоугольника $\Pi_+(\ell) = \{x \in \Pi : x_1 \in (0, \ell)\}$, что и собственная функция u_p^ℓ , а также условиям ортогональности

$$\int_0^1 u_{p\perp}^\ell(x_1, x_2) \sin\left(\frac{\pi}{2} x_2\right) dx_2 = 0, \quad x_1 \in (0, \ell). \quad (5.22)$$

Следовательно,

$$\begin{aligned} \|u_p^\ell; L^2(\Pi(\ell))\|^2 &= \|\mathcal{U}_{(p)}^\ell; L^2(0, 1)\|^2 + \|u_{p\perp}^\ell; L^2(\Pi(\ell))\|^2, \\ \|\partial_1 u_p^\ell; L^2(\Pi(\ell))\|^2 &= \ell^{-2} \|\partial_y \mathcal{U}_{(p)}^\ell; L^2(0, 1)\|^2 + \|\partial_1 u_{p\perp}^\ell; L^2(\Pi(\ell))\|^2 \end{aligned} \quad (5.23)$$

и справедливо неравенство Пуанкаре

$$\int_0^1 |\partial_2 u_{p\perp}^\ell(x)|^2 dx_2 \geq \frac{9}{4} \pi^2 \int_0^1 |u_{p\perp}^\ell(x)|^2 dx_2 \text{ при } x_1 \in (0, \ell). \quad (5.24)$$

Укажем еще неравенства Фридрикса, принимающие во внимание только условия Дирихле,

$$\begin{aligned} \int_0^1 |\partial_2 u_p^\ell(x)|^2 dx_2 &\geq \frac{\pi^2}{4} \int_0^1 |u_p^\ell(x)|^2 dx_2 \text{ при } x_1 \in (0, \ell) \\ \int_0^1 |\partial_2 u_p^\ell(x)|^2 dx_2 &\geq \pi^2 \int_0^1 |u_p^\ell(x)|^2 dx_2 \text{ при } x_1 \in (\ell, +\infty). \end{aligned} \quad (5.25)$$

Найдем предел функции (5.20) при $\ell \rightarrow +\infty$, для чего укажем несколько оценок для исходной собственной функции.

Сначала заметим, что

$$\begin{aligned} &\int_{\Pi_+(\ell)} |\partial_2 u_p^\ell(x)|^2 dx - \int_{\Pi_+(\ell)} |\partial_2 u_{p\perp}^\ell(x)|^2 dx \\ &= \int_{\Pi_+(\ell)} |\partial_2 u_{pb}^\ell(x)|^2 dx + 2 \int_{\Pi_+(\ell)} \partial_2 u_{pb}^\ell(x) \partial_2 u_{p\perp}^\ell(x) dx \\ &= \frac{\pi^2}{2\ell} \int_{\Pi_+(\ell)} \cos^2\left(\frac{\pi}{2}x_2\right) \left| \mathcal{U}_p^\ell\left(\frac{x_1}{\ell}\right) \right|^2 dx \\ &\quad + \frac{\pi}{\sqrt{2\ell}} \int_{\Pi_+(\ell)} \cos\left(\frac{\pi}{2}x_2\right) \mathcal{U}_p^\ell\left(\frac{x_1}{\ell}\right) \partial_2 u_{p\perp}^\ell(x) dx \\ &= \frac{\pi^2}{4} \int_0^1 |\mathcal{U}_p^\ell(y)|^2 dy - \frac{\pi^2}{2} \frac{1}{\sqrt{2\ell}} \int_0^\ell \mathcal{U}_p^\ell\left(\frac{x_1}{\ell}\right) \left(\int_0^1 \sin\left(\frac{\pi}{2}x_2\right) u_{p\perp}^\ell(x_1, x_2) dx_2 \right) dx_1. \end{aligned}$$

В силу условия ортогональности (5.22) последний интеграл равен нулю.

Интегральное тождество (1.4) с ингредиентами $u^\ell = \psi^\ell = u_p^\ell$ и $\lambda^\ell = \lambda_p^\ell$, соотношения (5.16), (5.21), (5.23) и неравенства (2.10), (5.24)

показывают, что при большом ℓ верны соотношения

$$\begin{aligned}
 & \left(\frac{\pi^2}{4} + \frac{C_p}{\ell^2} \right) \|u_p^\ell; L^2(\Pi_+)\|^2 \geq \lambda_p^\ell \|u_p^\ell; L^2(\Pi_+)\|^2 \\
 & = 2\ell \int_0^\ell \int_0^1 \sin^2\left(\frac{\pi}{2}x_2\right) \left| \frac{\partial \mathcal{U}_p^\ell}{\partial x_1}\left(\frac{x_2}{\ell}\right) \right|^2 dx + \underbrace{\int_0^\ell \int_0^1 \left| \frac{\partial u_{p\perp}^\ell}{\partial x_1}(x) \right|^2 dx}_{\text{фигурная скобка}} \\
 & + \ell \frac{\pi^2}{4} \int_0^\ell \int_0^1 \cos^2\left(\frac{\pi}{2}x_2\right) \left| \mathcal{U}_p^\ell\left(\frac{x_2}{\ell}\right) \right|^2 dx + \int_0^\ell \int_0^1 \left| \frac{\partial u_{p\perp}^\ell}{\partial x_2}(x) \right|^2 dx \\
 & + \underbrace{\int_\ell^{+\infty} \int_0^1 \left| \frac{\partial u_p^\ell}{\partial x_1}(x) \right|^2 dx}_{\text{фигурная скобка}} + \int_\ell^{+\infty} \int_0^1 \left| \frac{\partial u_p^\ell}{\partial x_2}(x) \right|^2 dx \tag{5.26} \\
 & \geq \frac{1}{\ell^2} \|\partial_y \mathcal{U}_p^\ell; L^2(0,1)\|^2 + \frac{1}{4} \pi^2 \|u_{p\perp}^\ell; L^2(\Pi_+(\ell))\|^2 \\
 & + \frac{9}{4} \pi^2 \|u_{p\perp}^\ell; L^2(\Pi_+(\ell))\|^2 + \pi^2 \|u_p^\ell; L^2(\Pi_+ \setminus \Pi_+(\ell))\|^2 \\
 & \Rightarrow \frac{1}{\ell^2} \|\partial_y \mathcal{U}_p^\ell; L^2(0,1)\|^2 + 2\pi^2 \|u_{p\perp}^\ell; L^2(\Pi_+(\ell))\|^2 \\
 & + \frac{3}{4} \pi^2 \|u_p^\ell; L^2(\Pi_+ \setminus \Pi_+(\ell))\|^2 \leq \frac{C_p}{\ell^2} \|u_p^\ell; L^2(\Pi_+)\|^2 = \frac{C_p}{\ell^2}.
 \end{aligned}$$

Пояснение: положительные интегралы, выделенные фигурной скобкой снизу, удалены, интегралы, содержащие синус и косинус, вычислены согласно формулам (5.20) и (5.21), а для остальных применены неравенства (5.24) и (5.25). Теперь из последней оценки в (5.26) при учете нормировки собственной функции выводим, что

$$\begin{aligned}
 1 & = \|\mathcal{U}_p^\ell; L^2(0,1)\|^2 + \|u_{p\perp}^\ell; L^2(\Pi_+(\ell))\|^2 + \|u_p^\ell; L^2(\Pi_+ \setminus \Pi_+(\ell))\|^2 \\
 \Rightarrow \quad & |1 - \|\mathcal{U}_p^\ell; L^2(0,1)\|^2| \leq \frac{C_p}{\ell^2}. \tag{5.27}
 \end{aligned}$$

Последние оценки в списках (5.26) и (5.27) показывают, что в последовательности $\{\ell^{(j)}\}_{j \in \mathbb{N}}$ найдется подпоследовательность, вдоль которой

$$\mathcal{U}_p^\ell \rightarrow \mathcal{U}_p^\infty \text{ слабо в } H^1(0,1) \text{ и сильно в } L^2(0,1). \tag{5.28}$$

При этом простое следовое неравенство [1]

$$\begin{aligned} 2\ell|\mathcal{U}_p^\ell(1)|^2 &= \left| \int_0^1 \sin\left(\frac{\pi}{2}x_2\right) u_p^\ell(\ell, x_2) dx_2 \right|^2 \leq \int_0^1 |u_p^\ell(\ell, x_2)|^2 dx_2 \\ &\leq c\|u_p^\ell; H^1((\ell, \ell+1) \times (0, 1))\|^2 \leq C \end{aligned}$$

гарантирует, что $\mathcal{U}_p^\ell(1) \rightarrow 0$.

Теперь в интегральное тождество (1.4) подставим пробную функцию

$$x \mapsto \psi^\ell(x) = \sin\left(\frac{\pi}{2}x_2\right)\Psi\left(\frac{x_1}{\ell}\right),$$

где $\Psi \in C_{cD}^\infty[0, 1)$ и лишний нижний индекс означает, что $\Psi(0) = 0$ в случае D . В итоге простые выкладки приводят к формуле

$$\int_0^1 \partial_y \mathcal{U}_p^\ell(y) \partial_y \Psi(y) dy = \ell^2 \left(\lambda_p^\ell - \frac{\pi^2}{4} \right) \int_0^1 \mathcal{U}_p^\ell(y) \Psi(y) dy. \quad (5.29)$$

Сходимости (5.17) и (5.28) позволяют осуществить предельный переход при $\ell \rightarrow +\infty$ в формуле (5.29) и придти к интегральному тождеству

$$\int_0^1 \partial_y \mathcal{U}_p^\infty(y) \partial_y \Psi(y) dy = \Lambda_p^\infty \int_0^1 \mathcal{U}_p^\infty(y) \Psi(y) dy, \quad \Psi \in C_{cD}^\infty[0, 1),$$

а в силу последнего соотношения (5.27) – и к равенству $1 = \|\mathcal{U}_p^\infty; L^2(0, 1)\|$. В итоге видим, что пределы (5.17) и (5.28) в самом деле образуют спектральную пару задачи (5.18), (5.19). Напомним еще, что продолжение предельных функций переменной y по нечетности в случае D и по четности в случае N порождает собственную пару (2.14) задачи (2.13).

Теорема 5.1. *Если $\{\lambda_p^\ell, u_p^\ell\}$ – собственная пара задачи (1.1), (1.2), удовлетворяющая требованиям (5.16), то сходимости (5.17) и (5.28) дают собственную пару $\{\Lambda_p^\infty, \mathcal{U}_p^\infty\}$ предельной задачи (5.18), (5.19).*

Полученной информации достаточно для того, чтобы завершить проверку теоремы 2.1 по следующим двум причинам. Во-первых, в силу сильной сходимости (5.28) функции $2^{-1/2}\mathcal{U}_1^\infty, \dots, 2^{-1/2}\mathcal{U}_m^\infty$ ортонормированы в $L^2(-1, 1)$, так как собственные функции $u_1^\ell, \dots, u_m^\ell$ задачи (1.1), (1.2) ортонормированы в $L^2(\Pi)$. Во-вторых,

все собственные числа предельной задачи на отрезке $(-1, 1)$ простые и в $c_j \ell^{-1}$ -окрестности каждого из них $\Lambda_j = \pi^2 j^2 / 4$ построено видоизмененное собственное число $\ell^2(\lambda_{q(j)}^\ell - \pi^2/4)$ (см. п. 1, §5). Закончить рассуждения просто.

5.4. Оправдание асимптотики при расширении окна Неймана. Примем обозначения из §4 и заметим, что “почти тождественный” диффеоморфизм $\mathcal{K}^\varepsilon = (\mathcal{K}_1^\varepsilon, \mathcal{K}_2^\varepsilon) : \Pi_+ \rightarrow \Pi_+$,

$$\mathcal{K}_1^\varepsilon(x) = x_1 - \chi_0(r_+) \varepsilon, \quad \mathcal{K}_2^\varepsilon(x) = x_2,$$

переводит точку $P_+^{\ell+\varepsilon}$ в точку P_+^ℓ и придает возмущение оператору Лапласа, квадратично зависящее от малого параметра $\varepsilon \geq 0$ и сосредоточенное на компактном множестве $\text{supp} |\nabla \chi_0|$. Таким образом, согласно общим результатам [50, гл. 6] теории возмущений линейных операторов простые собственные числа задач (1.1), (1.2), (2.19) аналитически зависят от $\varepsilon \in (0, \varepsilon_0)$ при некотором $\varepsilon_0 > 0$. Таким образом, требуется только проверить полученные в §4 выражения для коэффициентов (4.16), (4.28) и (4.36) в поправочных членах разложений (4.1), (4.18) и (4.29) соответственно. Наиболее простой (по мнению автора) подход состоит в применении леммы 5.1 и построении “почти собственной” пары оператора $A^{\ell+\varepsilon}$ на основе формального асимптотического анализа из §4. Подробно рассмотрим случай из п. 1, §4, в котором конструкции содержат все необходимые элементы, но не оказываются излишне громоздкими, как в случае из п. 2, §4. Разумеется, случай $\lambda_\dagger \in \sigma_p^\ell$, разобранный в п. 3, §4, более прост из-за экспоненциального затухания захваченной волны.

“Почти собственная” пара $\{t_\varepsilon^\ell, \mathcal{V}_\varepsilon^\ell\}$ с ингредиентами

$$t_\varepsilon^\ell = (\pi^2 - \varepsilon^2 \theta^2)^{-1}, \quad \mathcal{V}_\varepsilon^\ell = \|\mathbf{U}_\varepsilon^\ell, \mathcal{H}^{\ell+\varepsilon}\|^{-1} \mathbf{U}_\varepsilon^\ell$$

включает множитель (4.16) и функцию

$$\begin{aligned} \mathbf{U}_\varepsilon^\ell(x) &= X_\varepsilon^\ell(x_1) \chi_0^\varepsilon(r_+) (u_T^0(x) + \varepsilon u_T'(x)) + \chi^\ell(x_1) \sin(\pi x_2) e^{-\varepsilon \theta x_1} \\ &+ \varepsilon^{1/2} \chi_0(r_+) K_T^0 \rho_1^{1/2} \sin \frac{\varphi_1}{2} - X_\varepsilon^\ell(x_1) \chi^\ell(x_1) \sin(\pi x_2) (1 - \varepsilon \theta x_1) \\ &- \chi_0^\varepsilon(r_+) \chi_0(r_+) K_T^0 \left(r_+^{1/2} \sin \frac{\varphi_+}{2} - \frac{1}{2} r_+^{-1/2} \sin \frac{\varphi_+}{2} \right). \end{aligned} \quad (5.30)$$

Конструкция (5.30) похожа на предыдущую (5.8), но учитывает явление пограничного слоя около точки $P_+^{\ell+\varepsilon}$: члены разложений (4.3),

(4.4) и (4.9) умножены на срезающие функции с перехлестывающимися носителями, а дублирование слагаемых, подвергшихся сращиванию в п. 1, §4, устранено парой вычитаемых. Здесь помимо срезов (3.3) и (2.30) использованы такие гладкие срезающие функции:

$$\begin{aligned} \chi^\ell(x_1) &= \chi(x_1 - \ell), \quad \chi^\ell(x_1) = 1 \text{ при } x_1 \geq \ell + 2, \\ \chi^\ell(x_1) &= 0 \text{ при } x_1 \leq \ell + 1; \\ \chi_0^\varepsilon(r_+) &= 1 \text{ при } r_+ < 2\varepsilon, \quad \chi_0^\varepsilon(r_+) = 0 \text{ при } r_+ > 3\varepsilon; \\ X_\varepsilon^\ell(x_1) &= 1 \text{ при } x_1 < \ell + \varepsilon^{-1}, \quad X_\varepsilon^\ell(x_1) = 0 \text{ при } x_1 > 1 + \ell + \varepsilon^{-1}. \end{aligned} \quad (5.31)$$

Благодаря наличию срезов, сглаживающих сингулярности около конца $(\ell + \varepsilon, 0)$ отрезка $\Gamma^{\ell+\varepsilon}$ и устраняющих рост асимптотических членов на бесконечности, выполнены необходимые краевые условия, а значит, $\mathbf{U}_\varepsilon^\ell \in \mathcal{H}^{\ell+\varepsilon}$, так как волна $\sin(\pi x_2)e^{-\varepsilon\theta x_1}$ исчезает на бесконечности.

Дальнейшие действия по применению леммы 5.1 полностью следуют схеме из п. 2, §5, а именно, обрабатывается величина из формулы (5.4)

$$\begin{aligned} \delta_\varepsilon^\ell &= \|\mathbf{U}_\varepsilon^\ell; \mathcal{H}^{\ell+\varepsilon}\|^{-1} \sup |\langle \mathcal{T}^{\ell+\varepsilon} \mathbf{U}_\varepsilon^\ell - t_\varepsilon^\ell \mathbf{U}_\varepsilon^\ell, v_\varepsilon^\ell \rangle| \\ &= t_\varepsilon^\ell \|\mathbf{U}_\varepsilon^\ell; \mathcal{H}^{\ell+\varepsilon}\|^{-1} \sup |(I_\varepsilon^\ell, v_\varepsilon^\ell)_{\Pi_+}|, \end{aligned} \quad (5.32)$$

где супремум вычисляется по единичному шару в пространстве $\mathcal{H}^{\ell+\varepsilon}$, т.е. $\|\nabla v_\varepsilon^\ell; L^2(\Pi_+)\|^2 \leq 1$, а значит, верны соотношения

$$\begin{aligned} \|v_\varepsilon^\ell; L^2(\Pi_+)\|^2 &\leq \frac{4}{\pi^2} \|\nabla v_\varepsilon^\ell; L^2(\Pi_+)\|^2, \\ \int_{\mathbb{B}_{1/2}^+(P_+^{\ell+\varepsilon})} \frac{1}{(r_+^\varepsilon)^2} |v_\varepsilon^\ell(x)|^2 dx &\leq C. \end{aligned} \quad (5.33)$$

При этом $r_+^\varepsilon = |x - P_+^{\ell+\varepsilon}|$. Первая оценка (5.33) обеспечена одномерными неравенствами (2.9) и (2.10), а вторая – неравенством Фридрикса на дуге $(0, \pi) \ni \varphi_1$

$$\frac{1}{(r_+^\varepsilon)^2} \int_0^\pi |v_\varepsilon^\ell(x)|^2 d\varphi_1 \leq \frac{4}{\pi^2} \int_0^\pi \frac{1}{(r_+^\varepsilon)^2} \left| \frac{\partial v_\varepsilon^\ell}{\partial \varphi_1}(x) \right|^2 d\varphi_1 \leq \frac{4}{\pi^2} \int_0^\pi |\nabla v_\varepsilon^\ell(x)|^2 d\varphi_1,$$

справедливым благодаря условию Дирихле на луче $\{x : x_1 > \ell + \varepsilon, x_2 = 1\}$, т.е. при $\varphi_1 = 0$. После несложных, но длинных преобразований

первый сомножитель из скалярного произведения в $L^2(\Pi_+)$ из правой части соотношения (5.32) приобретает вид

$$\begin{aligned}
 I_\varepsilon^\ell &= \Delta \mathbf{U}_\varepsilon^\ell + (\pi^2 - \varepsilon^2 \theta^2) \mathbf{U}_\varepsilon^\ell = X_\varepsilon^\ell \chi_0^\varepsilon (\Delta + \pi^2 - \varepsilon^2 \theta^2) (u_T^0 + \varepsilon u_T') \\
 &+ \chi^\ell (\Delta + \pi^2 - \varepsilon^2 \theta^2) \sin(\pi x_2) e^{-\varepsilon \theta x_1} + \varepsilon^{1/2} K_T^0 \chi_0 \Delta \left(\rho_1^{1/2} \sin \frac{\varphi_1}{2} \right) \\
 &+ [\Delta, X_\varepsilon^\ell] (u_T^0 + \varepsilon u_T' - (1 - \varepsilon \theta x_1) \sin(\pi x_2)) \\
 &+ [\Delta, \chi_0^\varepsilon] \left(u_T^0 + \varepsilon u_T' - K_T^0 \left(r_+^{1/2} + \frac{\varepsilon}{2} r_+^{-1/2} \right) \sin \frac{\varphi_+}{2} \right) \\
 &+ K_T^0 [\Delta, \chi_0] \left(\varepsilon^{1/2} \rho_1^{1/2} \sin \frac{\varphi_1}{2} - \left(r_+^{1/2} + \frac{\varepsilon}{2} r_+^{-1/2} \right) \sin \frac{\varphi_+}{2} \right) \quad (5.34) \\
 &+ K_T^0 \chi_0 (\pi^2 - \varepsilon^2 \theta^2) \left(\varepsilon^{1/2} \rho_1^{1/2} - \chi_0^\varepsilon \left(r_+^{1/2} + \frac{\varepsilon}{2} r_+^{-1/2} \right) \sin \frac{\varphi_+}{2} \right) \\
 &+ [\Delta, \chi^\ell] \sin(\pi x_2) (e^{-\varepsilon \theta x_1} - 1 + \varepsilon \theta x_1) \\
 &- X_\varepsilon^\ell \chi^\ell \varepsilon^2 \theta^2 \sin(\pi x_2) (1 - \varepsilon \theta x_1) =: \sum_{q=1}^9 I^q.
 \end{aligned}$$

Ясно, что $I^2 = I^3 = 0$. Поскольку u_T^0 и u_T' — решения задач (1.1), (1.2), (2.19)_T и (4.11), (4.12), (2.19)_T, соответственно ограниченное и линейно растущее при $x_1 \rightarrow +\infty$, имеем

$$\begin{aligned}
 \|X_\varepsilon^\ell u_T^0; L^2(\Pi_+)\| &\leq c^0 \varepsilon^{-1/2}, \quad \|X_\varepsilon^\ell u_T'; L^2(\Pi_+)\| \leq c' \varepsilon^{-3/2}, \\
 I^1 = X_\varepsilon^\ell \chi_0^\varepsilon \varepsilon^2 \theta^2 (u_T^0 + \varepsilon u_T') &\Rightarrow |(I^1, v_\varepsilon^\ell)_{\Pi_+}| \leq c \varepsilon^{3/2}.
 \end{aligned}$$

Приведенные оценки L^2 -норм функций u_T^0 и u_T' обусловлены их поведением (2.25) и (4.14) при $x_1 \rightarrow +\infty$. Кроме того, u_T' можно зафиксировать так, что $a_T' = 0$ в представлении (4.14). Следовательно, сомножитель в выражении I^4 , на который действует коммутатор $[\Delta, X_\varepsilon^\ell]$, исчезает на бесконечности как $e^{-\pi\sqrt{3}x_1}$. Поскольку коэффициенты коммутатора располагаются на квадрате $[\ell + \varepsilon^{-1}, 1 + \ell + \varepsilon^{-1}] \times [0, 1]$, приходим к оценке

$$|(I^4, v_\varepsilon^\ell)_{\Pi_+}| \leq c e^{-\pi\sqrt{3}/(\ell + \varepsilon^{-1})}.$$

Для того чтобы обработать выражение I^5 , заметим, что в силу формул (3.12), (3.13), (4.13) и (5.31) на множестве $\Theta^\varepsilon = \text{supp } |\nabla \chi_0^\varepsilon| \subset \{x \in$

$\overline{\Pi_+} : 2\varepsilon \leq r_+ \leq 3\varepsilon$ верны формулы

$$\begin{aligned} I^5 &= K_T^0(l_1^\varepsilon \partial_1 + l_2^\varepsilon \partial_2 + l_0^\varepsilon) S^\varepsilon, \\ l_j^\varepsilon(x) &= O(\varepsilon^{-1}), \quad j = 1, 2, \quad l_0^\varepsilon(x) = O(\varepsilon^{-2}), \\ S^\varepsilon(x) &= O(r_+^{1/2}(\varepsilon + r_+)), \quad \nabla S^\varepsilon(x) = O(r_+^{-1/2}(\varepsilon + r_+)). \end{aligned}$$

Таким образом, при учете второго неравенства (5.33) находим, что

$$\begin{aligned} |(I^4, v_\varepsilon^\ell)_{\Pi_+}| &\leq c \left(\int_{\Theta^\varepsilon} \left(\varepsilon^{-1} r_+^{-1/2}(\varepsilon + r_+) + \varepsilon^{-2} r_+^{1/2}(\varepsilon + r_+) \right)^2 (r_+^\varepsilon)^2 dx \right)^{1/2} \\ &\quad \times \left(\int_{\Theta^\varepsilon} \frac{1}{(r_+^\varepsilon)^2} |v_\varepsilon^\ell(x)|^2 dx \right)^{1/2} \leq c\varepsilon^{3/2}. \end{aligned}$$

Носители коэффициентов коммутатора $[\Delta, \chi_0]$ удалены от точки $P_+^{\ell+\varepsilon}$, т.е. соотношения (4.10) и $r_+ = \varepsilon\rho$ дают оценку

$$|(I^6, v_\varepsilon^\ell)_{\Pi_+}| \leq c\varepsilon^2.$$

Те же соотношения и второе неравенство (5.33) после перехода к полярным координатам показывают, что

$$\begin{aligned} |(I^7, v_\varepsilon^\ell)_{\Pi_+}| &\leq c \left(\varepsilon \int_0^{3\varepsilon} \rho_1(r_+^\varepsilon)^2 r_+ dr_+ + \varepsilon \int_{2\varepsilon}^{1/2} \rho^{-3}(r_+^\varepsilon)^2 r_+ dr_+ \right)^{1/2} \\ &\quad \times \left(\int_{\Theta^\varepsilon} (r_+^\varepsilon)^{-2} |v_\varepsilon^\ell(x)|^2 dx \right)^{1/2} \leq c\varepsilon^2. \end{aligned}$$

Поскольку носители коэффициентов коммутатора $[\Delta, \chi_+^\ell]$ расположены на множестве $[\ell+1, \ell+2] \times [0, 1]$ (см. определение (5.7)) простая оценка последнего слагаемого в списке (5.34) основана на формуле Тейлора для экспоненциальной функции:

$$|(I^8, v_\varepsilon^\ell)_{\Pi_+}| \leq c\varepsilon^2.$$

Наконец, элементарные вычисления приводят к неравенствам

$$|(I^9, v_\varepsilon^\ell)_{\Pi_+}| \leq c\varepsilon^2 \|(1 + \varepsilon x_1) X_\varepsilon^\ell \chi^\ell; L^2(\Pi_+)\| \leq c\varepsilon^{3/2}.$$

Перегруппировав члены в правой части (5.30), обнаруживаем, что при $x_1 > \ell + 2$ функция $\mathbf{U}_\varepsilon^\ell$ отличается от медленно затухающей волны $\sin(\pi x_2) e^{-\varepsilon \theta x_1}$ лишь слагаемым $O(e^{-\pi\sqrt{3}x_1})$. Следовательно, при

малом ε имеем

$$\begin{aligned} \|\mathbf{U}_\varepsilon^\ell; \mathcal{H}^\varepsilon\|^2 &\geq \|\nabla \mathbf{U}_\varepsilon^\ell; L^2(\Pi \setminus \Pi(2+\ell))\|^2 \\ &\geq \int_{\Pi \setminus \Pi(2+\ell)} \left((\pi^2 \cos^2(\pi x_2) + \varepsilon^2 \theta^2 \sin^2(\pi x_2)) e^{-2\varepsilon \theta x_1} - C e^{-2\pi \sqrt{3} x_1} \right) dx \geq \frac{\pi^2}{8\theta \varepsilon}. \end{aligned}$$

Соберем полученные оценки. В итоге обнаружим, что величина (5.33) не превосходит $c^\ell \varepsilon^2$, а значит, сначала лемма 5.1 предоставляет собственное число $\tau_T^\varepsilon \in [t_\varepsilon^\ell + c^\ell \varepsilon^2, t_\varepsilon^\ell - c^\ell \varepsilon^2]$ оператора $A_T^{\ell+\varepsilon}$, а аналогичная (5.14) выкладка показывает, что $\lambda_T^\varepsilon = (\tau_T^\varepsilon)^{-1}$ – собственное число задачи (1.1), (1.2), (2.19)_T, подчиненное оценке (4.17). Теорема 4.1 доказана в полном объеме и, как уже упоминалось, теоремы 4.2 и 4.3 устанавливаются по той же схеме.

§6. ОБОСНОВАНИЕ АСИМПТОТИКИ КРИТИЧЕСКИХ РАЗМЕРОВ ОКНА НЕЙМАНА

6.1. Постановка условий излучения в полосе. При двойном индексе $\vec{\beta} = (\beta_0, \beta_1)$ определим весовое пространство Соболева $W_{\vec{\beta}}^1(\Pi)$ (пространство Кондратьева [49]) и весовое пространство Лебега $L_{\vec{\beta}}^2(\Pi)$ как пополнения линейного множества $C_c^\infty(\bar{\Pi})$ (бесконечно дифференцируемые функции с компактными носителями) по весовым нормам

$$\begin{aligned} \|v; W_{\vec{\beta}}^1(\Pi)\| &= (\|\nabla v; L_{\vec{\beta}}^2(\Pi)\|^2 + \|v; L_{\vec{\beta}}^2(\Pi)\|^2)^{1/2} \text{ и} \\ \|f; L_{\vec{\beta}}^2(\Pi)\| &= (\|e^{\beta_1 \xi_1} f; L^2(\Pi_+)\|^2 + \|e^{-\beta_0 \xi_1} f; L^2(\Pi_-)\|^2)^{1/2} \end{aligned} \quad (6.1)$$

соответственно. Они состоят из функций $f \in L_{loc}^2(\bar{\Pi})$ и $v \in H_{loc}^1(\bar{\Pi})$, для которых конечны соответствующие нормы (6.1). При $\beta_j > 0$ элементы пространств затухают на бесконечности, но при $\beta_j < 0$ им разрешен некоторый рост, причем скорости затухания/роста регулируются весовыми индексами β_j , $j = 0, 1$. Наконец, при $\beta_j = 0$ выражения (6.1) – обычные (не весовые) соболевская и лебегова нормы.

При пороговом значении спектрального параметра интегральное тождество

$$(\nabla v, \nabla \psi)_\Pi - \pi^2(v, \psi)_\Pi = f(\psi), \quad \psi \in W_{-\vec{\beta}, 0}^1(\Pi), \quad (6.2)$$

обслуживает задачу (2.3)–(2.5) с $\mu = \pi^2$ и ставится на подпространстве

$$W_{-\vec{\beta},0}^1(\Pi) = \{v \in W_{-\vec{\beta}}^1(\Pi) : v = 0 \text{ на } \partial\Pi \setminus (\mathbb{R}_- \times \{1\})\}.$$

Кроме того, $f \in W_{-\vec{\beta},0}^1(\Pi)^*$ – (анти)линейный непрерывный функционал на пространстве $W_{-\vec{\beta},0}^1(\Pi)$.

Задаче (6.2) отвечает непрерывное отображение

$$\mathcal{O}_{\vec{\beta}} : W_{-\vec{\beta},0}^1(\Pi) \rightarrow W_{-\vec{\beta},0}^1(\Pi)^*,$$

которое согласно общим результатам⁷ [30, гл. 5, §2], [57, §2] и следствию 3.1 является фредгольмовым оператором⁸ при $\beta_j \in (0, \beta_j^\dagger)$, к тому же мономорфизмом (см. доказательство предложения 6.1). Здесь и далее

$$\beta_j \in (0, \beta_j^\dagger), \quad j = 0, 1, \quad \text{и} \quad \beta_1^\dagger = \pi\sqrt{3}, \quad \beta_0^\dagger = \pi\frac{\sqrt{5}}{2}. \quad (6.3)$$

Очередное утверждение об однозначной разрешимости задачи (2.3)–(2.5) – результат постановки энергетических условий излучения (см. [30, гл. 5, §3, §6]): в разложение решения на бесконечности включаются уходящие в рукавах Π_- и Π_+ волны v_- и w_+ , заданные формулами (2.26) и (2.20) соответственно.

Предложение 6.1. *Пусть выполнены ограничения (6.3) и, кроме того, $f \in W_{-\vec{\beta},0}^1(\Pi)^*$. Задача (2.3)–(2.5) с параметром $\mu = \pi^2$ имеет (единственное) решение $v \in W_{-\vec{\beta},0}^1(\Pi)$, представимое в виде*

$$v(\xi) = \chi_-(\xi_1)a_-v_-(\xi) + \chi_+(\xi_1)a_+w_+(\xi) + \tilde{v}(\xi) \quad (6.4)$$

со срезками (2.31) и удовлетворяющее интегральному тождеству (6.2) с пробными функциями $\psi \in W_{-\vec{\beta},0}^1(\Pi)$. Для коэффициентов $a_\pm \in \mathbb{C}$ и затухающего остатка $\tilde{v} \in W_{-\vec{\beta},0}^1(\Pi)$ верна оценка

$$|a_-| + |a_+| + \|\tilde{v}; W_{-\vec{\beta},0}^1(\Pi)\| \leq c_{\vec{\beta}} \|f; W_{-\vec{\beta},0}^1(\Pi)^*\|, \quad (6.5)$$

⁷Эти результаты относятся к классическим постановкам краевых задач, но переход к обобщенным постановкам, например, к интегральному тождеству (6.2), не требует никаких изменений в приведенных рассуждениях и выкладках (ср. работу [56] применительно к задаче Дирихле для оператора Гельмгольца).

⁸Ограничения на весовые индексы $\beta > 0$ определяются наличием у задачи решений $e^{\pi\sqrt{5}x_1/2} \sin(\pi x_2/2)$ и $e^{-\pi\sqrt{3}x_1} \sin(2\pi x_2)$ в рукавах Π_- и Π_+ соответственно.

в которой множитель $c_{\vec{\beta}}$ не зависит от правой части f , но неограниченно возрастает при $\beta_j \rightarrow +0$ или $\beta_j \rightarrow \beta_j^\ddagger$, причем $j = 0$ или $j = 1$.

Доказательство. Согласно стандартному подходу (см. книгу [30, гл. 1], статью [56] и многие другие публикации), опирающемся на формулы (2.21) и (2.27) для симплектической формы (2.22) и планомерно использованному в п. 2, §2, достаточно убедиться в том, что у однородной ($f = 0$) задачи (6.2) нет захваченных волн $v \in W_{(0,0),0}^1(\Pi) \subset H^1(\Pi)$, допускающих представление (6.4) с коэффициентами $a_\pm = 0$ и потому затухающих на бесконечности с экспоненциальной скоростью. Всякое такое решение бесконечно дифференцируемо всюду в $\overline{\Pi}$, кроме начала координат \mathcal{O} , в котором его производные приобретают корневые сингулярности.

Сначала рассмотрим сужение v_+ захваченной волны v на полулопосу Π_+ . Положим

$$v_+(x) = v_+^0(x_1) \sin(\pi x_2) + v_+^\perp(x), \quad (6.6)$$

где

$$v_+^0(x_1) = 2 \int_0^1 \sin(\pi x_2) v_+(x) dx_2, \quad \int_0^1 \sin(\pi x_2) v_+^\perp(x_1, x_2) dx_2 = 0, \quad x_1 > 0. \quad (6.7)$$

По причине последнего условия ортогональности справедливо неравенство Пуанкаре

$$\int_0^1 |v_+^\perp(x)|^2 dx_2 \leq \frac{1}{4\pi^2} \int_0^1 \left| \frac{\partial v_+^\perp}{\partial x_2}(x_1, x_2) \right|^2 dx_2, \quad x_1 > 0. \quad (6.8)$$

Умножим уравнение (2.3) с $\mu = \pi^2$ на $\sin(\pi x_3)$ и при каждом $x_1 > 0$ проинтегрируем по $x_2 \in (0, 1)$. В силу условий Дирихле на боковых сторонах полулопосы Π_+ находим, что

$$0 = \int_0^1 \sin(\pi x_2) (\Delta + \pi^2) v(x) dx_2 = \frac{1}{2} \left(\frac{\partial^2 v_+^0}{\partial x_1^2}(x_1) + \pi^2 v_+^0(x_1) \right).$$

Следовательно,

$$v_+^0(x_1) = \sum_{\pm} c_{\pm} e^{\pm i\pi x_1}$$

и $c_{\pm} = 0$ ввиду затухания функции (6.6) при $x_1 \rightarrow +\infty$, т.е.

$$v_+(x) = v_+^{\perp}(x). \quad (6.9)$$

На полуполосе Π_- аналогичные (6.6) и (6.7) соотношения для сужения v_- функции v выглядят так:

$$\begin{aligned} v_-(x) &= v_-^0(x_1) \sin\left(\frac{\pi}{2}x_2\right) + v_-^{\perp}(x), \\ v_-^0(x_1) &= 2 \int_0^1 \sin\left(\frac{\pi}{2}x_2\right) v_-(x) dx_2, \\ \int_0^1 \sin\left(\frac{\pi}{2}x_2\right) v_+^{\perp}(x_1, x_2) dx_2 &= 0, \quad x_1 < 0. \end{aligned} \quad (6.10)$$

После интегрирования по $x_2 \in (0, 1)$ уравнения (2.3), умноженного на $\sin\left(\frac{\pi}{2}x_2\right)$, и при учете краевых условий (2.5), (2.4) на боковых сторонах полуполосы Π_- получаем, что

$$\begin{aligned} 0 &= \int_0^1 \sin\left(\frac{\pi}{2}x_2\right) (\Delta + \pi^2)v(x) dx_2 = \frac{1}{2} \left(\frac{\partial^2 v_-^0}{\partial x_1^2}(x_1) + \frac{3}{4}\pi^2 v_-^0(x_1) \right) \\ &\Rightarrow v_-^0(x_1) = \sum_{\pm} c_{\pm} e^{\pm i\sqrt{3}\pi x_1/2} \Rightarrow c_{\pm} = 0. \end{aligned}$$

Последний вывод обеспечен затуханием функции v_- при $x_1 \rightarrow -\infty$. Поскольку $v_- = v_-^{\perp}$, условие ортогональности (6.10) обеспечивает неравенство

$$\int_0^1 |v_-(x)|^2 dx_2 \leq \frac{4}{9\pi^2} \int_0^1 \left| \frac{\partial v_-}{\partial x_2}(x_1, x_2) \right|^2 dx_2, \quad x_1 < 0,$$

которое вместе с соотношениями (6.9), (6.8) показывает, что

$$\begin{aligned} 0 &= \int_{\Pi} |\nabla v(x)|^2 dx - \pi^2 \int_{\Pi} |v(x)|^2 dx \\ &\geq \min \left\{ 4\pi^2 - \pi^2, \frac{9}{4}\pi^2 - \pi^2 \right\} \int_{\Pi} |v(x)|^2 dx \geq \frac{5}{4}\pi^2 \int_{\Pi} |v(x)|^2 dx, \end{aligned}$$

а значит, $v = 0$. Предложение доказано. \square

6.2. Оценки решений задачи в полуполосе, равномерные относительно параметра ℓ . В этом и следующих пунктах удобно записывать задачу (1.1), (1.2), (2.19)_T в “сдвинутых” координатах ξ (см. формулу (2.2)), т.е. считать ее поставленной в полуполосе

$$\Pi_+^\ell = (-\ell, +\infty) \times (0, 1).$$

Несмотря на наличие только одного выхода на бесконечность сохраним весовые нормы (6.1) для функциональных пространств $L_{\beta}^2(\Pi_+^\ell)$ и $W_{\beta}^1(\Pi_+^\ell)$, но включим в подпространство $W_{\beta, N}^1(\Pi_+^\ell)$ краевые условия Дирихле на линиях $(-\ell, +\infty) \times \{0\}$ и $\mathbb{R}_+ \times \{1\}$, а в подпространство $W_{\beta, D}^1(\Pi_+^\ell)$ – еще и на торце $\Upsilon_{-\ell} = \{-\ell\} \times (0, 1)$

Неоднородная, с правыми частями в уравнении и краевых условиях, задача (1.1), (1.2), (2.19)_T в весовых классах формулируется как интегральное тождество

$$(\nabla u_T^\ell, \nabla \psi_T^\ell)_{\Pi_+^\ell} - \lambda(u_T^\ell, \psi_T^\ell)_{\Pi} = f_T^\ell(\psi_T^\ell), \quad \psi_T^\ell \in W_{-\beta, T}^1(\Pi_+^\ell), \quad (6.11)$$

с некоторым “хорошим” функционалом в правой части. Его решение ищется в виде

$$u_T^\ell(\xi) = \chi_-(\xi_1) a_-^\ell v_T(\xi_1 + \ell, \xi_2) + \chi_+(\xi_1) a_+^\ell w_+(\xi) + \tilde{u}_T^\ell(\xi), \quad (6.12)$$

где v_T и w_+ – волны (2.33) и (2.20). Подчеркнем, что пробные функции в тождестве (6.12) считаются исчезающими при $\xi_1 \rightarrow +\infty$ с экспоненциальной скоростью, и поэтому решению u_T^ℓ разрешено не затухать на бесконечности: правая часть (6.12) включает линейную волну из списка (2.20) и ограниченную волну (2.33).

Пространство $\mathbf{W}_{\beta, T}^1(\Pi_+^\ell)$ составим из функций вида (6.12) и снабдим его нормой

$$\|u_T^\ell; \mathbf{W}_{\beta, T}^1(\Pi_+^\ell)\| = \inf \left(|a_-^\ell|^2 + |a_+^\ell|^2 + \|\tilde{u}_T^\ell; W_{\beta, T}^1(\Pi_+^\ell)\| \right)^{1/2}, \quad (6.13)$$

где инфимум вычисляется по всем представлениям (6.12). Как в книге [30], статьях [57, 58] и др. публикациях, называем⁹ $\mathbf{W}_{\beta, T}^1(\Pi_+^\ell)$ “весовым пространством с отделенной асимптотикой” – гильбертова структура этого пространства далее востребована не будет. Интегральное

⁹Аналогичное пространство вводится [30, гл. 5] и для функций (6.12), подчиненных энергетическим условиям излучения (6.4).

тождество (6.11) порождает непрерывное отображение

$$\mathbf{O}_{\vec{\beta}}^{\ell} : \mathbf{W}_{\vec{\beta}, T}^1(\Pi_T^{\ell}) \rightarrow W_{-\vec{\beta}, T}^1(\Pi_+^{\ell})^*, \quad (6.14)$$

причем его норма ограничена не зависящей от больших величин ℓ постоянной.

Основной результат этого параграфа будет доказан в п. 4, §6.

Теорема 6.1. Пусть $\beta_j \in (0, \beta_j^{\ddagger})$, $j = 0, 1$, и $f \in W_{-\vec{\beta}, 0}^1(\Pi_+^{\ell})^*$. Тогда задача (6.11) с пороговым спектральным параметром $\lambda = \pi^2$ имеет единственное решение $u_T^{\ell} \in \mathbf{W}_{\vec{\beta}, T}^1(\Pi_+^{\ell})$ и верна оценка

$$\|u_T^{\ell}; \mathbf{W}_{\vec{\beta}, T}^1(\Pi_+^{\ell})\| \leq \mathbf{c}_{\vec{\beta}} \|f; W_{-\vec{\beta}, T}^1(\Pi_+^{\ell})^*\|, \quad (6.15)$$

в которой множитель $\mathbf{c}_{\vec{\beta}}$ не зависит от функционала f , но неограниченно возрастает при $\beta_j \rightarrow +0$ или $\beta_j \rightarrow \beta_j^{\ddagger}$, где $j = 0$ или $j = 1$.

Иными словами, отображение (6.14) – изоморфизм при больших ℓ .

Следствие 6.1. При больших размерах ℓ окна Неймана порог $\lambda_{\ddagger} = \pi^2$ не является собственным числом задачи (1.1), (1.2), т.е. все пороговые резонансы правильные.

6.3. Растущие решения задачи в полуполосе. Далее понадобятся решения задачи в полуполосе $\Pi_+ \ni x$ с краевыми условиями Дирихле и Неймана на боковых сторонах $\mathbb{R}_+ \times \{0\}$ и $\mathbb{R}_+ \times \{1\}$ соответственно, а также условиями (2.19)_D или (2.19)_N на ее торце. Эта задача получается формальным переходом к $\ell = +\infty$ в исходной задаче (1.1), (1.2), (2.19)_T, т.е. распространением условия Неймана на всю боковую сторону $\{x : x_1 \in \mathbb{R}_+, x_2 = 1\}$ полуполосы. Кроме того, (отрицательный) весовой индекс $-\beta_0$ в норме

$$\|u^0; W_{-\beta_0, T}^1(\Pi_+)\| = (\|e^{-\beta_0 x_1} \nabla u^0; L^2(\Pi_+)\|^2 + \|e^{-\beta_0 x_1} u^0; L^2(\Pi_+)\|^2)^{1/2}, \quad (6.16)$$

пространства $W_{-\beta_0, T}^1(\Pi_+)$, на котором осуществляется обобщенная постановка указанной задачи

$$(\nabla u_T^0, \nabla \psi_T^0)_{\Pi_+} - \pi^2 (u_T^0, \psi_T^0)_{\Pi_+} = f_T^0(\psi_T^0), \quad \psi_T^0 \in W_{\beta_0, T}^1(\Pi_+), \quad (6.17)$$

унаследован от весового множителя в первой весовой норме (6.1) после обратной замены координат (2.2). При этом пробная функция $\psi_N^0 \in W_{\beta_0, T}^1(\Pi_+)$ обращается в нуль на нижней боковой стороне $\mathbb{R}_+ \times \{0\}$, а функция $\psi_D^0 \in W_{\beta_0, T}^1(\Pi_+)$ – еще и на торце Υ_0 . Кроме того, в силу

неравенства $\beta_0 > 0$ она затухает при $x_1 \rightarrow +\infty$ с экспоненциальной скоростью, а решению разрешен рост на бесконечности. В частности, функции (2.33) суть решения однородной ($f_T^0 = 0$) задачи (6.17).

Очередное утверждение, разумеется, вытекает из общих результатов [30, гл. 5, §6], [57, теорема 3.1], но по причине простой геометрии может быть проверено и элементарными средствами, например, методом Фурье.

Предложение 6.2. Пусть $f_T^0 \in W_{\beta_0, T}^1(\Pi_+)^*$, а весовой индекс β_0 взят из формулы (6.3). Задача (6.17) имеет решение $u_T^0 \in W_{-\beta_0, T}^1(\Pi_+)$, определенное с точностью до слагаемого $c_T v_T$, содержащего ограниченную волну (2.33), но будучи подчинено условию ортогональности

$$(u_T^0, v_T)_{\Pi_+(1)} = 0, \quad (6.18)$$

где $\Pi_+(1) = (0, 1)^2$ – квадрат, примыкающий к торцу полуполосы, становится единственным и удовлетворяет оценке

$$\|u_T^0; W_{-\beta_0, T}^1(\Pi_+)\| \leq c_{\beta_0} \|f^0; W_{\beta_0, T}^1(\Pi_+)^*\|, \quad (6.19)$$

в которой множитель c_{β_0} не зависит от функционала f^0 , но неограниченно возрастает при $\beta_0 \rightarrow +0$ или $\beta_0 \rightarrow \beta_0^\ddagger$.

6.4. Доказательство теоремы 6.1. Построим “почти обратный” оператор для (6.13), т.е. такое отображение

$$\mathbf{R}_{\beta}^{\ell}: W_{-\beta, T}^1(\Pi_+^{\ell})^* \rightarrow \mathbf{W}_{\beta, T}^1(\Pi_T^{\ell}),$$

что выполнено соотношение

$$\|\mathbf{O}_{\beta}^{\ell} \mathbf{R}_{\beta}^{\ell} - \text{Id}: W_{-\beta, T}^1(\Pi_+^{\ell})^* \rightarrow W_{-\beta, T}^1(\Pi_+^{\ell})^*\| \leq \mathbf{C} \ell^{-\varepsilon} \quad \text{при } \varepsilon > 0, \ell > \ell_{\bullet}. \quad (6.20)$$

Тогда отображение $\mathbf{O}_{\beta}^{\ell} \mathbf{R}_{\beta}^{\ell}$, близкое к тождественному Id , обратимо, а значит, $\mathbf{R}_{\beta}^{\ell} (\mathbf{O}_{\beta}^{\ell} \mathbf{R}_{\beta}^{\ell})^{-1}$ – истинный обратный для оператора $\mathbf{O}_{\beta}^{\ell}$.

Зафиксируем индексы $\beta_j \in (0, \beta_j^\ddagger)$ и число $\varepsilon > 0$ так, чтобы $\beta_j \pm 2\varepsilon \in (0, \beta_j^\ddagger)$ при $j = 0, 1$. Функционал $f^{\ell} \in W_{-\beta, T}^1(\Pi_+^{\ell})^*$ представим в виде суммы $f_1^{\ell} + \widehat{f}_0^{\ell}$, где

$$\begin{aligned} f_1^{\ell}(\psi^1) &= f^{\ell}(\chi_{1/2}^{\ell}(\psi^1)), \quad \psi^1 \in W_{(-\beta_0 - 2\varepsilon, -\beta_1), 0}^1(\Pi), \\ f_0^{\ell}(\psi^0) &= f((1 - \widehat{\chi}_{1/2}^{\ell})\widehat{\psi}^0), \quad \psi^0 \in W_{\beta_0 - 2\varepsilon, T}^1(\Pi). \end{aligned} \quad (6.21)$$

Здесь применена операция сдвига координат, т.е., например, функция $\widehat{\psi}^0$ задана в полуполосе Π_+ равенством $\widehat{\psi}^0(\xi_1, \xi_2) = \psi^0(\xi_1 + \ell, \xi_2)$. Кроме того, срезка $\chi_{1/2}^\ell$ определена по эталонной срезке (2.2),

$$\begin{aligned} \chi_\theta^\ell(\xi_1) &= \chi(\xi_1 + \theta\ell), \quad \theta \in [0, 1], \\ \chi_\theta^\ell(\xi_1) &= 1 \text{ при } \xi_1 > 2 - \theta\ell, \quad \chi_\theta^\ell(\xi_1) = 0 \text{ при } \xi_1 < 1 - \theta\ell. \end{aligned} \quad (6.22)$$

Поскольку $e^{-2\epsilon\xi_1} \leq ce^{\epsilon\ell}$ на множестве $\text{supp } f_1^\ell \subset \{\xi \in \overline{\Pi} : \xi_1 \geq 1 - \ell/2\}$, увеличение весового индекса $\beta_0 \mapsto \beta_0 + 2\epsilon$ приводит к следующему неравенству с большим множителем $e^{\epsilon\ell}$ в правой части:

$$\|f_1^\ell; W_{(-\beta_0-2\epsilon, -\beta_1), 0}^1(\Pi)^*\| \leq ce^{\epsilon\ell} \|f^\ell; W_{-\beta, T}^1(\Pi_+^\ell)^*\|, \quad (6.23)$$

Точно так же уменьшение весового индекса $\beta_0 \mapsto \beta_0 - 2\epsilon$, произошедшее во второй строке (6.21), и обратная замена координат (2.2) обеспечивают оценку

$$\|f_0^\ell; W_{\beta_0-2\epsilon, 0}^1(\Pi)\| \leq ce^{-\beta_0\ell+\epsilon\ell} \|f^\ell; W_{-\beta, T}^1(\Pi_+^\ell)^*\|. \quad (6.24)$$

Множитель $e^{-\beta_0\ell}$ не играет существенной роли, так как сократится при замене $x \mapsto \xi$.

Предложения 6.1 и 6.2 предоставляют решение (6.12) задачи (6.11) из класса $W_{(\beta_0+2\epsilon, \beta_1), 0}^1(\Pi)$ и подчиненное условию ортогональности (6.18) решение $u_T^0 \in W_{-\beta_0+2\epsilon, T}^1(\Pi_+)$ задачи (6.19) – у названных задач правые части имеют вид (6.21). При этом в силу неравенств (6.23), (6.24) и оценок (6.5), (6.19) получаем, что выражения

$$\begin{aligned} &e^{-\epsilon\ell} \left(|a_-| + |a_+| + \|\tilde{v}; W_{(\beta_0+2\epsilon, \beta_1), 0}^1(\Pi)\| \right) \\ &\text{и } e^{\beta_0\ell-\epsilon\ell} \|u_T^0; W_{-\beta_0+2\epsilon, T}^1(\Pi_+)\| \end{aligned} \quad (6.25)$$

приобретают общую мажоранту $C \|f^\ell; W_{-\beta, T}^1(\Pi_+^\ell)^*\|$, в которой множитель C не зависит от исходного функционала f^ℓ и дополнительного параметра $\epsilon \in [0, \epsilon_0)$; здесь ϵ_0 – малое положительное число. Важно также то, что во всех формулах значение $\epsilon = 0$ допустимо.

Положим

$$\begin{aligned} (\mathbf{R}_{\beta}^\ell f^\ell)(\xi) &= \chi_-(\xi_1) a_- v_-(\xi) + \chi_+(\xi_1) a_+ w_+(\xi) + \chi_1^\ell(\xi_1) \tilde{v}(\xi) \\ &+ B(\chi_-(\xi_1)(v_+(\xi) + S_-^- v_-(\xi)) + \chi_+(\xi_1) S_-^+ w_+(\xi) + \chi_1^\ell(\xi_1) \tilde{V}_-(\xi)) \\ &+ e^{\beta_0\ell} \chi_-(\xi_1) u_T^0(\xi_1 + \ell, \xi_2). \end{aligned} \quad (6.26)$$

Здесь срезающие функции взяты из списков (2.31) и (6.22), $\theta = 1$, V_- – дифракционное решение (2.29) задачи (2.3)–(2.5) на пороге $\mu = \pi^2$, а S_{\pm}^{\pm} – элементы пороговой матрицы рассеяния (см. п. 2, §2). Кроме того, множитель B нужен для соблюдения искусственных краевых условий Дирихле (минус) или Неймана (плюс) на торце $\Upsilon_{-\ell} = \{\xi : \xi_1 = \ell, \xi_2 \in (0, 1)\}$ полуполосы Π_+^{ℓ} . Последнее слагаемое в (6.26) удовлетворяет этим условиям, а слагаемые с множителями χ_+ и χ_1^{ℓ} обращаются в нуль около отрезка $\Upsilon_{-\ell}$. Формулы (2.26) для осциллирующих волн v_{\pm} показывают, что

$$\begin{aligned} Bv_+(\xi) + (a_- + BS_-^-)v_-(\xi) \\ = Be^{-i\ell\sqrt{3}/2}v_+(x) + (a_- + BS_-^-)e^{-i\ell\sqrt{3}/2}v_-(x), \end{aligned} \quad (6.27)$$

а значит, выполнение искусственных краевых условий при $x_1 = 0$ происходит в случае

$$Be^{-i\ell\sqrt{3}/2} \mp (a_- + BS_-^-)e^{i\ell\sqrt{3}/2} = 0 \quad \Leftrightarrow \quad B = \frac{\pm a_-}{e^{-i\ell\sqrt{3}} \mp S_-^-}. \quad (6.28)$$

Подчеркнем, что знаменатель не обращается в нуль согласно лемме 2.2, так как $|S_-^-| < 1$. Иными словами, в силу оценки первого выражения (6.25) приходим к соотношению

$$|B| \leq c|a_-| \leq C\|f^{\ell}; W_{-\vec{\beta}, T}^1(\Pi_+^{\ell})^*\|. \quad (6.29)$$

В силу связи (6.28) выражение (6.27) превращается в

$$Be^{-i\ell\sqrt{3}/2}v_T(\xi_1 + \ell, \xi_2),$$

т.е. линейная комбинация (6.26) принимает вид (6.12), где

$$\begin{aligned} a_-^{\ell} &= Be^{-i\ell\sqrt{3}/2}, \quad a_+^{\ell} = a_+ + BS_+^+, \\ \tilde{v}^{\ell} &= \tilde{v} + B\tilde{V}_- + e^{\beta_0\ell}\chi_-u_T^0. \end{aligned} \quad (6.30)$$

Итак, функция (6.26) попадает в пространство $\mathbf{W}_{\vec{\beta}, T}^1(\Pi_T^{\ell})$ и справедливо неравенство

$$\|\mathbf{R}_{\vec{\beta}}^{\ell}f^{\ell}; \mathbf{W}_{\vec{\beta}, T}^1(\Pi_+^{\ell})\| \leq c\|f^{\ell}; W_{-\vec{\beta}, T}^1(\Pi_+^{\ell})^*\|.$$

обеспеченное оценками выражений (6.25) с $\epsilon = 0$ и формулой (6.29), которые позволяют обработать ингредиенты (6.30) представления (6.12) для $\mathbf{R}_{\vec{\beta}}^{\ell}f^{\ell}$.

Подчеркнем, что норма (6.13) определена как инфимум, и поэтому для ее оценки сверху достаточно привести одно представление функции $\mathbf{R}_{\vec{\beta}}^{\ell} f^{\ell}$, удовлетворяющее нужному неравенству. Вместе с тем из-за присутствия срезов χ_1^{ℓ} и χ_- в определении (6.26) функция $\mathbf{R}_{\vec{\beta}}^{\ell} f^{\ell}$ оставляет невязки в задаче (6.25), а именно,

$$\mathbf{O}_{\vec{\beta}}^{\ell} \mathbf{R}_{\vec{\beta}}^{\ell} f^{\ell} - f^{\ell} = \mathbf{S}_{\vec{\beta}}^{\ell} f^{\ell} \in W_{-\vec{\beta}, T}^1(\Pi_+^{\ell})^*. \quad (6.31)$$

Оператор $\mathbf{S}_{\vec{\beta}}^{\ell}$ задан равенством

$$\begin{aligned} (\mathbf{S}_{\vec{\beta}}^{\ell} f^{\ell})(\psi^{\ell}) &= ([\nabla, \chi_1^{\ell}](\tilde{v} + B\tilde{V}_-), \nabla \psi^{\ell})_{\Pi_+^{\ell}} - (\nabla(\tilde{v} + B\tilde{V}_-), [\nabla, \chi_1^{\ell}]\psi^{\ell})_{\Pi_+^{\ell}} \\ &+ e^{\beta_0 \ell} ([\nabla, \chi_-] u_T^{\ell}, \nabla \psi^{\ell})_{\Pi_+^{\ell}} - e^{\beta_0 \ell} (\nabla u_T^{\ell}, [\nabla, \chi_-]\psi^{\ell})_{\Pi_+^{\ell}}. \end{aligned} \quad (6.32)$$

и верна оценка

$$\left| (\mathbf{S}_{\vec{\beta}}^{\ell} f^{\ell})(\psi^{\ell}) \right| \leq c e^{-\epsilon \ell} \|f^{\ell}; W_{-\vec{\beta}, T}^1(\Pi_+^{\ell})^*\|. \quad (6.33)$$

Малый множитель $e^{-\epsilon \ell} = e^{\epsilon \ell} e^{-2\epsilon \ell}$ сформировался следующим образом: поскольку носители функций (6.21) содержатся во множествах $\{\xi \in \overline{\Pi} : \xi_1 \geq -1 + \ell/2\}$ и $\{x \in \overline{\Pi}_+ : x_1 \leq 1 + \ell/2\}$, т.е. приращение $\pm 2\epsilon$ весового индекса принесло в мажоранту для выражений (6.25) большой множитель $e^{+\epsilon \ell}$, однако это же приращение породило гораздо более малый множитель $e^{-2\epsilon \ell}$, так как носители коэффициентов коммутаторов $[\nabla, \chi_1^{\ell}]$ и $[\nabla, \chi_-]$ из формулы (6.32) содержатся в квадратах $[-\ell + 1, -\ell + 2] \times [0, 1]$ и $[\ell - 2, \ell + 1] \times [0, 1]$, удаленных на расстояние $O(\ell)$ от начала декартовых систем координат ξ и x соответственно.

Соотношения (6.31)–(6.33) влекут за собой оценку (6.20) и доказывают теорему 6.1

6.5. Доказательство теоремы 2.3. Поскольку норма (6.13) включает модуль коэффициента рассеяния a_+^{ℓ} в решении (6.12), оценивание асимптотического остатка в представлении (2.38) порогового коэффициента отражения s_T^{ℓ} в дифракционном решении ζ_T^{ℓ} задачи (1.1), (1.2), (2.19)_T достаточно просто.

Составим приближение Z_T^{ℓ} к решению (2.23) только при помощи построенного в п. 3, §2 внутреннего (2.34) разложения – внешнее разложение (2.32) не нужно потому, что оно было полностью согласовано

со внутренним! Именно, в силу формул (2.35)–(2.37) на прямоугольнике $\Pi_+(\ell)$ получаем соотношение

$$V_+(\xi) + B_T^\ell V_-(\xi) - C_T^\ell v_T(x) = \tilde{V}_+(\xi) + B_T^\ell \tilde{V}_-(\xi) =: \tilde{V}_T^\ell(\xi) \quad (6.34)$$

Для соблюдения краевых условий (2.19)_T умножим экспоненциально малую на квадрате $(1, 2) \times (0, 1)$ функцию (6.34) на срезку (2.30) и положим

$$Z_T^\ell(x) = V_+(x_1 - \ell, x_2) + B_T^\ell V_-(x_1 - \ell, x_2) - (1 - \chi(x_1)) \tilde{V}_T^\ell(x_1 - \ell, x_2).$$

Разность $R_T^\ell(x) = \zeta_T^\ell(x) - Z_T^\ell(x)$ допускает представление (6.12), в котором $a_+^\ell = s_T^\ell - s_T^0(\ell)$, а вычитаемое взято из формулы (2.38). Функция R_T^ℓ удовлетворяет задаче (6.11), в которой $W_{-\beta, T}^1(\Pi_+)^*$ – норма функционала $f_T^\ell(\psi_T^\ell) = -([\Delta, \chi] \tilde{V}_T^\ell, \psi_T^\ell)_{\Pi_+}$ мажорируется величиной $ce^{(\beta_0 - \beta_0^\ddagger)\ell}$ и оказывается бесконечно малой согласно ограничению (6.12). В итоге неравенство (6.15) из теоремы 6.1 дает нужную оценку остатка в асимптотике (2.38).

Теорема 6.2. *Существуют такие положительные числа ℓ_T^\sharp и c_T^\sharp , что при $\ell > \ell_T^\sharp$ для порогового коэффициента отражения s^ℓ в решении (2.23) задачи (1.1), (1.2), (2.19)_T справедлива оценка*

$$|s_T^\ell - s_T^0(\ell)| \leq c_T^\sharp e^{(\beta_0 - \beta_0^\ddagger)\ell},$$

Отсюда немедленно вытекает утверждение теоремы 2.3.

Автор благодарен Д.И. Борисову, указавшему на тесное родство данной работы и значительно более ранних исследований [3, 10].

СПИСОК ЛИТЕРАТУРЫ

1. О. А. Ладыженская, *Краевые задачи математической физики*, М., Наука, 1973.
2. М. Ш. Бирман, М. З. Соломяк, *Спектральная теория самосопряженных операторов в гильбертовом пространстве*, Л.:1, изд-во Ленингр. ун-та, 1980.
3. P. Exner, P. Šeba, M. Tater, D. Vānek, *Bound states and scattering in quantum waveguides coupled laterally through a boundary window.* — J. Math. Phys. **37**, No. 10 (1996), 4867–4887.
4. P. Exner, S. A. Vugalter, *Asymptotics estimates for bound states in quantum waveguides coupled laterally through a narrow window.* — Ann. Ins. H. Poincaré Phys. Théor. **65**, No. 1 (1996), 109–123.
5. W. Bulla, F. Gesztesy, W. Renner, B. Simon, *Weakly coupled bound states in quantum waveguides.* — Proc. Amer. Math. Soc. **125**, No. 5 (1997), 1487–1495.

6. P. Exner, S. A. Vugalter, *Bound-state asymptotic estimate for window-coupled Dirichlet strips and layers*. — J. Phys. **30**, No. 22 (1997), 7863–7878.
7. D. Borisov, P. Exner, *Exponential splitting of bound states in a waveguide with a pair of distant windows*. — J. Phys. A. Math. Gen. **37** (2004), 3411–3428.
8. D. Borisov, P. Exner, R. Gadyl'shin, *Geometric coupling thresholds in a the two-dimensional strip*. — J. Math. Phys. **43**, No. 12 (2008), 6265–6278.
9. D. Borisov, T. Ekholm, H. Kovarik, *Spectrum of the magnetic Schrödinger operator in a waveguide with combined boundary conditions*. — Ann. Henri Poincaré **6**, No. 2 (2005), 327–342.
10. Д. И. Борисов, *Дискретный спектр пары несимметричных волноводов, соединенных окном*. — Матем. сборник **197**, No. 4 (2006), 3–32.
11. D. Borisov, P. Exner, *Distant perturbation asymptotics in window-coupled waveguides. I. The nonthreshold case*. — J. Math. Phys. **47**, No. 11 (2006), 113502-1–113502-24.
12. D. Borisov, P. Exner, A. Golovina, *Tunneling resonances in systems without a classical trapping*. — J. Math. Phys. **54** (2013) 012102.
13. С. А. Назаров, *Асимптотика собственного числа на непрерывном спектре двух квантовых волноводов, соединенных узкими окнами*. — Матем. заметки **93**, No. 2 (2013), 227–245.
14. Г. П. Черепанов, *Механика хрупкого разрушения*, Л., Судостроение, 1990.
15. Л. И. Слепян, *Механика трещин*, Л., Судостроение, 1990.
16. В. М. Пестриков, Е. М. Морозов, *Механика разрушения твердых тел*, Курс лекций. СПб, Профессия, 2002.
17. С. А. Назаров, *Локальная устойчивость и неустойчивость трещин нормального отрыва*. — Механика твердого тела No. 3 (1988), 124–129.
18. С. А. Назаров, О. Р. Полякова, *Критерии разрушения, асимптотические условия в вершинах трещин и самоспряженные расширения оператора Ламе*. — Труды московского матем. общества **57** (1996), 16–75.
19. С. А. Назаров, *Трещина на стыке анизотропных тел. Сингулярности напряжений и инвариантные интегралы*. — Прикладная матем. и механика **62**, No. 3 (1998), 489–502.
20. S. Molchanov, V. Vainberg, *Scattering solutions in networks of thin fibers; small diameter asymptotics*. — Comm. Math. Phys. **273**, No. 2 (2007), 533–559.
21. D. Grieser, *Spectra of graph neighborhoods and scattering*. — Proc. London Math. Soc. **97**, No. 3 (2008), 718–752.
22. K. Pankrashkin, *Eigenvalue inequalities and absence of threshold resonances for waveguide junctions*. — J. of Math. Anal. and Appl. **449**, No. 1 (2017), 907–925.
23. С. А. Назаров, *Аномалии рассеяния акустических волн вблизи точек отсечки непрерывного спектра (обзор)*. — Акустический журнал **66**, No. 5 (2020), 489–508.
24. С. А. Назаров, *Пороговые резонансы и виртуальные уровни в спектре цилиндрических и периодических волноводов*. — Известия РАН. Серия матем. **84**, No. 6 (2020), 73–130.
25. Ф. Л. Бахарев, С. А. Назаров, *Критерии отсутствия и наличия ограниченных решений на пороге непрерывного спектра в объединении квантовых волноводов*. — Алгебра и анализ **32**, No. 6 (2020), 1–23.

26. V. Maz'ya, S. Nazarov, B. Plamenevskij, *Asymptotic theory of elliptic boundary value problems in singularly perturbed domains*, Basel: Birkhäuser Verlag, 2000.
27. С. А. Назаров, *Асимптотическая теория тонких пластин и стержней. Понижение размерности и интегральные оценки*, Новосибирск, Научная книга, 2002.
28. С. А. Назаров, *Асимптотика собственных значений задачи Стеклова на сочленении областей различных предельных размерностей*. — Журнал вычисл. матем. и матем. физ. **52**, No. 11 (2013), 2033–2049.
29. С. А. Назаров, *Моделирование сингулярно возмущенной спектральной задачи при помощи самосопряженных расширений операторов предельных задач*. — Функциональный анализ и его приложения **49**, No. 1 (2015), 31–48.
30. S. A. Nazarov, B. A. Plamenevsky, *Elliptic problems in domains with piecewise smooth boundaries*, Berlin, New York: Walter de Gruyter, 1994.
31. С. А. Назаров, *Об асимптотике по параметру решения эллиптической краевой задачи с периодическими коэффициентами в цилиндре*. — Дифференциальные уравнения и их применения **30** (1981), 27–46.
32. S. A. Nazarov, *The Navier-Stokes problem in thin or long tubes with periodically varying cross-section*. — Z. Angew. Math. Mech. **80**, No. 9 (2000), 591–612.
33. М. Д. Ван Дайк, *Методы возмущений в механике жидкостей*, М., Мир, 1967.
34. А. М. Ильин, *Согласование асимптотических разложений решений краевых задач*, М., Наука, 1989.
35. С. А. Назаров, *Вариационный и асимптотический методы поиска собственных чисел под порогом непрерывного спектра*. — Сибирск. матем. журнал **51**, No. 5 (2010), 1086–1101.
36. С. А. Назаров, *Принудительная устойчивость простого собственного числа на непрерывном спектре волновода*. — Функциональный анализ и его приложения **47**, No. 3 (2013), 37–53.
37. Н. А. Умов, *Уравнения движения энергии в телах*, Одесса, Типогр. Ульриха и Шульце, 1874.
38. J. H. Poynting, *On the transfer of energy in the electromagnetic field*. — Phil. Trans. of the Royal Society of London **175** (1984), 343–361.
39. Л. И. Мандельштам, *Лекции по оптике теории относительности и квантовой механике*, Сб. трудов. Т. 2. М., Изд-во АН СССР, 1947.
40. И. И. Ворович, В. А. Бабешко, *Динамические смешанные задачи теории упругости для неклассических областей*, М., Наука, 1979.
41. С. А. Назаров, Б. А. Пламеневский, *Об условиях излучения для самосопряженных эллиптических задач*. — Доклады АН СССР **311**, No. 3 (1990), 532–536.
42. С. А. Назаров, *Ограниченные решения в T-образном волноводе и спектральные свойства лестницы Дирихле*. — Журнал вычисл. матем. и матем. физ. **54**, No. 8 (2014), 1299–1318.
43. Р. Митра, С. Ли, *Аналитические методы теории волноводов*, М., Мир, 1974.
44. С. Н. Wilcox, *Scattering Theory for Diffraction Gratings*, Applied Mathematical Sciences Series Vol. 46, Singapore, Springer, 1997.

45. М. Ш. Бирман, Г. Е. Скворцов, *О квадратичной суммируемости старших производных решения задачи Дирихле в области с кусочно гладкой границей*. — Известия ВУЗ'ов. Матем. No. 5 (1962), 11–21.
46. F. Rellich, *Über das asymptotische Verhalten der Lösungen von $\Delta u + \lambda u = 0$ in unendlichen Gebiete*. — Jahresber. Dtsch. Math.-Ver. **53**, No. 1 (1943), 57–65.
47. L. Bers, F. John, M. Schechter, *Partial differential equations*, New York, Interscience, 1964.
48. С. А. Назаров, *Волновод с двойным пороговым резонансом на простом пороге*. — Матем. сборнику **211**, No. 8 (2020), 20–67.
49. В.А. Кондратьев, *Краевые задачи для эллиптических уравнений в областях с коническими или угловыми точками*. — Труды Московск. матем. общества **16** (1967), 219–292.
50. Т. Като, *Теория возмущений линейных операторов*, М., Мир, 1972.
51. A. Aslanyan, L. Parnovski, D. Vassiliev, *Complex resonances in acoustic waveguides*. — Q. J. Mech Appl Math. **53**, No. 3 (2000), 429–447.
52. С. А. Назаров, *О возмущении собственного числа на непрерывном спектре волновода с несимметричным препятствием*. — Доклады РАН **440**, No. 3 (2011), 317–322.
53. М. И. Вишик, Л. А. Люстерник, *Регулярное вырождение и пограничный слой для линейных дифференциальных уравнений с малым параметром*. — Успехи матем. наук **12**, No. 5 (1953), 3–122.
54. Ю. А. Ромашев, С. А. Назаров, *Изменение коэффициента интенсивности при разрушении перемычки между двумя коллинеарными трещинами*. — Известия АН АрмССР. Механика. No. 4 (1982), 30–40.
55. С. А. Назаров, *Асимптотические условия в точках, самосопряженные расширения операторов и метод сращиваемых асимптотических разложений*. — Труды Санкт-Петербург. матем. о-ва. Т. 5, 112–183.
56. С. А. Назаров, *Асимптотика собственных чисел на непрерывном спектре регулярно возмущенного квантового волновода*. — Теоретическая и математическая физика **167**, No. 2 (2011), 239–262.
57. С. А. Назаров, *Полиномиальное свойство самосопряженных эллиптических краевых задач и алгебраическое описание их атрибутов*. — Успехи матем. наук **54**, No. 5 (1999), 77–142.
58. L. Chesnel, S.A. Nazarov, J. Taskinen, *Surface waves in a channel with thin tunnels at the bottom: non-reflecting underwater topography*. — Asymptotic Analysis **118**, No. 1,2 (2020), 81–122.

Nazarov S. A. Asymptotic analysis of the spectrum of a quantum waveguide with a wide Neumann “window” in the light of mechanics of cracks.

Various asymptotic expansions are derived for eigenvalues in the discrete spectrum of the boundary-value problem for the Laplace operator in the unit strip with the Dirichlet condition on its lateral sides everywhere with exception of an interval with length $2\ell > 0$ where the Neumann condition is imposed (a planar quantum waveguide with the “window”).

Since the total multiplicity of the discrete spectrum grows indefinitely as $\ell \rightarrow +\infty$, there exists a sequence of the critical lengths $\{\ell_m^*\}$, for which the problem operator enjoys the threshold resonance. This phenomenon is characterized by the existence of a nontrivial bounded solution, that is, either trapped, or almost standing wave, and provides miscellaneous near-threshold spectral anomalies. The quality of the threshold resonances is examined and asymptotic formulas for the values ℓ_m^* are obtained for large numbers m . The analysis is systematically performed by means of methods from fracture mechanics.

Институт проблем машиноведения РАН

В. О. Большой пр. 61, 199178

С-Петербург, Россия

E-mail: srgnazarov@yahoo.co.uk

Поступило 20 октября 2022 г.